

7. Определите особенности цепи управления тиристора при включении на большую индуктивность.

8. Оцените помехоустойчивость тиристора при следующих параметрах:

$$Q_k = 100 \text{ мкК}; t_{\Phi} = 2 \text{ мкс}; \Delta U_a = 1000 \text{ В}; C = 600 \text{ пФ}; I_{y,et} = 100 \text{ мА}; \tau_{vkl} = 1 \text{ мкс}; i_{yn}(t) = I_{yn} e^{-t/\tau_n}, \text{ где } I_{yn} = 80 \text{ мА}; \tau_n = 0,6 \text{ мкс}.$$

Предложите меры по повышению помехоустойчивости тиристора.

9. Определите особенности работы симистора на индуктивную нагрузку по сравнению с обычным тиристором, оцените достоинства метода коммутации симистора при цулевом напряжении.

10. Определите физические явления, ограничивающие предельные параметры запираемых тиристоров.

## Глава четвертая

### ПОЛЕВЫЕ ПОЛУПРОВОДНИКОВЫЕ ПРИБОРЫ

#### 4.1. КЛАССИФИКАЦИЯ И СИСТЕМА ОБОЗНАЧЕНИЙ ПОЛЕВЫХ ПОЛУПРОВОДНИКОВЫХ ПРИБОРОВ

##### 4.1.1. КЛАССИФИКАЦИЯ И ОСНОВНЫЕ ОСОБЕННОСТИ

Можно выделить три класса полевых полупроводниковых приборов: полевые транзисторы, полевые тиристоры и приборы с зарядовой связью. Широкое распространение в современной электронике находят полевые транзисторы, им уделено здесь наибольшее внимание.

Полевые приборы в схеме выполняют те же функции, что и биполярные приборы, и могут работать в усилительном или ключевом режиме (см. Введение). Главная особенность полевых приборов состоит в том, что их цепь управления изолирована от выходной цепи диэлектриком или обратносмещенным  $p-n$  переходом. Фактически цепь управления полевого прибора представляет собой конденсатор, заряд на обкладках которого изменяется под действием управляющего поля (напряжения). Полупроводниковая обкладка этого конденсатора  $C$  входит в выходную цепь прибора: изменение заряда обкладки приводит к изменению сопротивления канала  $r_{kan}$  и соответственно выходной мощности (рис. 4.1).

Таким образом, и полевые, и биполярные приборы управляются зарядом, но передача управляющего заряда

осуществляется по-разному: напряжением (через ёмкость) в полевых и током (через сопротивление) в биполярных. Управление непосредственно электрическим полем определяет основные особенности эксплуатации полевых полупроводниковых приборов.

В технической литературе рассматриваемый тип приборов определяют тремя терминами:

на основе принципа управления такие приборы обычно называют полевыми приборами;

Рис. 4.1. Электрическая модель полевого управления

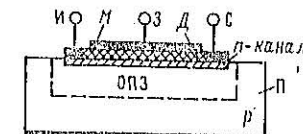
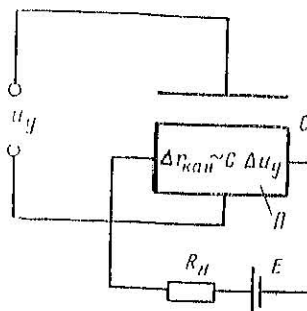


Рис. 4.2. МДП-транзистор с поверхностью горизонтальным проводящим каналом: ОПЗ — область пространственного заряда

следствии того что перенос тока в них обеспечивается одним типом носителей заряда, распространено другое название — униполярные приборы;

выходные параметры таких приборов в основном определяются свойствами канала, и можно встретить термин «канальные приборы».

В классе полевых транзисторов различают транзисторы со структурой металл—диэлектрик—полупроводник (МДП-транзисторы) и транзисторы с управляющим  $p-n$  переходом. В МДП-транзисторах<sup>1</sup> управляющая цепь затвор  $Z$ —исток  $I$  отделена от канала диэлектриком. Обычно в качестве диэлектрика используют оксид (диоксид кремния  $\text{SiO}_2$ ) и говорят о МОП-транзисторах (со структурой металл—оксид—полупроводник). Проводящий канал в МДП-транзисторах (показан штриховкой на рис. 4.2) расположен между стоком  $S$  и истоком  $I$  и имеет повышенную концентрацию носителей заряда по отношению к исходному полупро-

<sup>1</sup> МДП-транзистор называют также транзистором с изолированным затвором.

воднику-подложке. Проводимость канала изменяется с помощью цепи управления либо за счет изменения концентрации носителей заряда канала, либо за счет изменения его геометрических размеров.

МДП-транзисторы применяют двух типов: *с встроенным и индуцированным каналами*. Уменьшение тока на выходе МДП-транзистора со встроенным каналом обеспечивается подачей на управляющий электрод—затвор—напряжения  $U_g$  с полярностью, соответствующей знаку носителей заряда в канале: для  $p$ -канала  $U_g > 0$ , для  $n$ -канала  $U_g < 0$ . Напряжение затвора  $U_g$  указанной полярности вызывает обеднение канала носителями заряда, сопротивление канала увеличивается, и выходной ток уменьшается. Если изменить полярность напряжения на затворе (например, для МДП-транзистора со встроенным  $p$ -каналом подать  $U_g < 0$ ), то произойдет обогащение канала дырками и соответственно увеличение выходного тока.

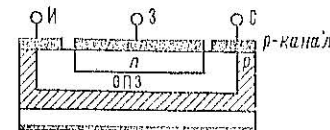
В МДП-транзисторе с индуцированным каналом при напряжении на затворе, равном нулю, канал отсутствует. Только при приложении к затвору так называемого порогового напряжения образуется (индуцируется) канал. При этом полярность напряжения на затворе должна совпадать со знаком основных носителей в объеме полупроводника-подложки: на поверхности полупроводника индуцируется заряд противоположного знака, т. е. тип проводимости поверхности слоя полупроводника инвертируется и образуется проводящий канал.

Таким образом, МДП-транзисторы со встроенным каналом могут работать как в *режиме обеднения канала* носителями заряда, так и в *режиме обогащения*. МДП-транзисторы с индуцированным каналом работают только в режиме обогащения.

*В полевых транзисторах с управляющим  $p-n$  переходом* управляющая цепь отделена от канала обратноемкостным  $p-n$  переходом, при этом канал расположен в объеме полупроводника (рис. 4.3) и существует при нулевом напряжении на затворе, т. е. является встроенным каналом. На управляющий  $p-n$  переход можно подавать только обратное напряжение, и поэтому полевые транзисторы с управляющим  $p-n$  переходом работают в режиме обеднения канала носителями заряда.

С точки зрения эксплуатации полупроводниковых приборов необходимо подчеркнуть, что МДП-транзистор с индуцированным каналом в отсутствие напряжения управле-

Рис. 4.3. Полевой транзистор с управляющим  $p-n$  переходом и горизонтальным каналом в объеме структуры



ния заперт — это *нормально закрытый прибор*. Полевой транзистор со встроенным каналом (полевой транзистор с управляющим  $p-n$  переходом или МДП-транзистор со встроенным каналом) — *прибор нормально открытый*, т. е. для поддержания закрытого состояния таких транзисторов необходимо запирающее смещение в цепи управления. Если цепь управления по какой-либо причине отключается, то нормально закрытый прибор запирается, а в нормально открытом приборе ток на выходе резко возрастает и прибор может выйти из строя.

Полевые транзисторы широко применяются в устройствах промышленной электроники: в источниках питания и стабилизаторах, в преобразователях для привода постоянного и переменного тока, в мощных усилителях, в выходных каскадах вычислительных устройств, в системах управления преобразователей и др.

*Полевые тиристоры* имеют ряд преимуществ по сравнению с биполярными тиристорами, прежде всего по быстродействию и экономичности. Это тиристоры, запираемые по цепи управления, что позволяет упростить узлы коммутации. В настоящее время отечественные полевые тиристоры находятся в стадии разработки и здесь не рассматриваются.

*В приборах с зарядовой связью* электрическое поле управляет емкостью взаимодействующих друг с другом элементарных МДП-структур, составляющих этот прибор. Характерной особенностью приборов с зарядовой связью является наличие общего, соединяющего все элементарные структуры канала передачи информации. С точки зрения применения в промышленной электронике приборы с зарядовой связью представляют интерес как элементы задержки, запоминающие устройства, а также как многоэлементные фотоприемники.

Наиболее применение в современной электронике получили МДП-транзисторы с индуцированным каналом. Рассмотрению этого прибора в классе полевых полупроводниковых приборов уделено в дальнейшем особое внимание.

## 4.1.2. СИСТЕМА ОБОЗНАЧЕНИЙ ПОЛЕВЫХ ТРАНЗИСТОРОВ

Полевой транзистор имеет три основных электрода: управляющий электрод — затвор  $Z$  и выходные электроды — сток  $C$  и исток  $H$ . Стоком называется электрод, к которому поступают носители заряда из канала. Если канал, например,  $n$ -типа, то носители заряда, поступающие из канала, — электрони, а полярность напряжения стока положительная. Возможен также четвертый электрод  $N$ , который соединяется с пластиной неоднотипного полупроводника — подложкой.

На рис. 4.4 приведены основные обозначения полевых транзисторов; для сравнения здесь же показаны обозначения биполярных транзисторов.

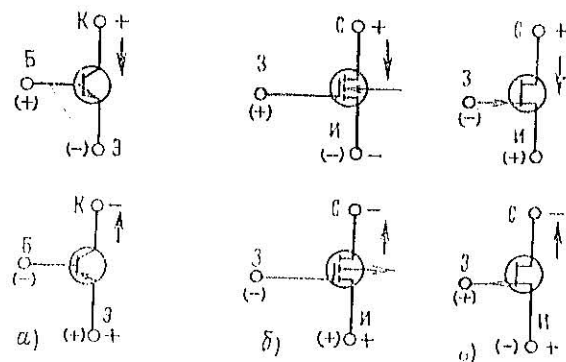


Рис. 4.4. Условные обозначения:

*a* — биполярного транзистора; *b* — МДП-транзистора с индуцированным каналом; *c* — МДП-транзистора с встроенным каналом.

МДП-транзисторы с индуцированным каналом (нормально закрытые) имеют пунктирную линию в обозначении канала (рис. 4.4, б). МДП-транзисторы со встроенным каналом (нормально открытые) — сплошную (рис. 4.4, в). Стрелка в обозначении полевых транзисторов определяет тип канала: направлена к каналу — для канала  $n$ -типа и от канала — для  $p$ -типа. Практически направление стрелки совпадает с направлением тока стока в стоковом электроде, что позволяет легко определить полярности управляющего ( $Z-H$ ) и выходного ( $C-H$ ) напряжений. Полярность управляющего и выходного напряжений для МДП-транзистора с индуцированным каналом однотипна, для полевых транзисторов со встроенным каналом — противоположна.

В условном обозначении МДП-транзистора отражен факт изоляции управляющего электрода — затвора от выходных электродов — стока

и истока (сравните с обозначением биполярного транзистора): у биполярного транзистора в открытом состоянии все электроды соединяются «на короткое», для МДП-транзистора открытое состояние характеризуется замыканием только цепи сток — исток (управляющая цепь остается изолированной).

В соответствии с действующим ГОСТ обозначение типа полевого транзистора содержит четыре элемента. Первый элемент — цифра 2 или буква К, они показывают, что полевые транзисторы изготавливаются на основе кремния. Второй элемент — буква И, определяет принадлежность к классу полевых приборов. Третий элемент — цифра, указывает основное назначение транзистора, определяя граничную частоту и рассеиваемую мощность. Четвертый и пятый элементы обозначения указывают на порядковый номер разработки данного типа транзистора и обозначаются цифрами от 01 до 99. Шестой элемент обозначения (буквы от А до Я) относит прибор к определенной группе по какому-либо параметру. Используется также семиэлементное обозначение транзисторов, отличающееся трехзначным номером разработки. Например, КИ7235Г означает кремниевый полевой транзистор с граничной частотой до 30 МГц и рассеиваемой мощностью больше 1 Вт, предназначенный для устройств инфракрасного применения, номер разработки 235, группа Г с квазификтивным параметром: крутизна  $S=6 \pm 12$  мА/В (см. § 4.4.1).

## 4.2. МДП-СТРУКТУРА С ИНДУЦИРОВАННЫМ КАНАЛОМ

МДП-структура состоит из полупроводника  $P$  — обычно кремний, тонкого слоя диэлектрика  $D$  — чаще всего диоксида кремния, металлической пленки  $M$  — рис. 4.5, а. Управление выходной мощностью в МДП-структуре сводится к управлению сопротивлением канала, который возникает (индуктируется) под действием поля затвора у поверхности полупроводника  $P$ . Фактически МДП-структура представляет собой конденсатор, заряд полупроводниковой обкладки которого под действием напряжения затвора  $U_{ZD}$  меняется количественно и качественно. При этом можно выделить два основных режима МДП-структур. Во-первых, режим *обединения*, когда у поверхности полупроводника структуры отсутствуют подвижные носители заряда и соответственно сопротивление канала очень большое (канал закрыт); заряд у поверхности полупроводника при этом представляется собой неподвижные ионы обединенной примеси (область пространственного заряда — ОПЗ). Во-вторых, режим *инверсии*, при котором у поверхности полупроводника инду-

цируется заряд подвижных носителей (дырок или электропроводов в зависимости от типа канала), сопротивление канала уменьшается (канал открыт); чем больше концентрация подвижных носителей, тем меньшее сопротивление канала и тем большая мощность передается в нагрузку.

Граница между режимами обеднения и инверсии задается пороговым значением напряжения затвора  $U_{\text{пор}}$ , т. е. при  $|U_{\text{зи}}| < |U_{\text{пор}}|$  имеем режим обеднения МДП-структур, а при  $|U_{\text{зи}}| > |U_{\text{пор}}|$  — режим инверсии (той или

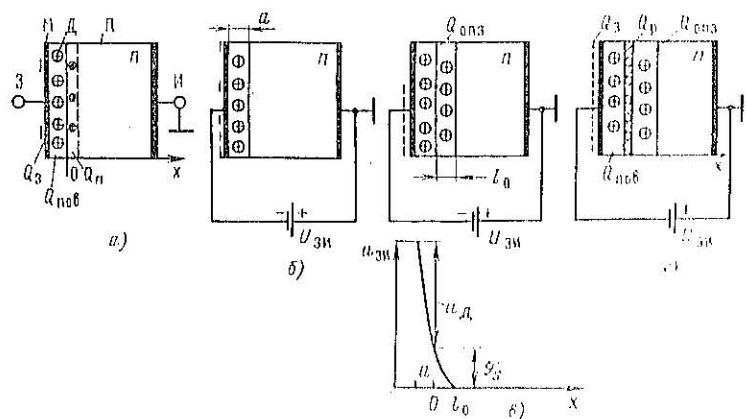


Рис. 4.5. Режимы работы МДП-структуры:

*a* — равновесный режим ( $U_{\text{зи}}=0$ ); *b* —  $|U_{\text{зи}}| < |U_{\text{пор}}|$ ; *c* — режим обеднения ( $|U_{\text{зи}}| > |U_{\text{пор}}|$ ); *г* — режим инверсии проводимости ( $|U_{\text{зи}}| > |U_{\text{пор}}|$ )

ной степени). Эффективность управления определяется чувствительностью сопротивления канала (заряда канала) к изменениям управляющего напряжения — напряжения затвора  $U_{\text{зи}}$ , действующего через ёмкость МДП-структуры (ёмкость затвора)  $C_{\text{з}}$ .

#### 4.2.1. РЕЖИМ ОБЕДНЕНИЯ МДП-СТРУКТУРЫ

Рассмотрим изменения заряда в полупроводнике МДП-структуры под действием напряжения затвора в режиме обеднения ( $|U_{\text{зи}}| < |U_{\text{пор}}|$ ) (рис. 4.5, *a*—*a*); оценим также

ёмкость затвора в этом режиме и ее зависимость от напряжения затвора.

Диэлектрик и граница раздела между полупроводником и диэлектриком в равновесном состоянии содержат некоторый заряд, который обусловлен ионами примесей в диэлектрике и свойствами поверхности. Пусть заряд поверхности имеет единицу площади полуроводника (удельный заряд поверхности состояний), сосредоточен на границе раздела, положителен и равен  $Q_{\text{пор}}$ .

Если напряжение между затвором и полупроводником (*n*-типа в нашем примере) отсутствует ( $U_{\text{зи}}=0$ ), то у поверхности полупроводника имеется отрицательный заряд электронов  $Q_n < 0$ , который появляется благодаря кулоновскому взаимодействию с положительным зарядом поверхностных состояний  $Q_{\text{пор}}$  (рис. 4.5, *a*). Отрицательный заряд  $Q_n$  находиться также и в металле затвора, так что можно записать

$$Q_3 = -Q_{\text{пор}} = Q_n. \quad (4.1)$$

При отрицательном напряжении на затворе ( $|U_{\text{зи}}| < |U_{\text{пор}}|$ ) электроны выгнаются из приповерхностной области полупроводника (рис. 4.5, *b*). Далее с ростом  $|U_{\text{зи}}$  возникает ОИЗ, образованная положительными ионами донорной примеси и имеющая толщину  $l_0$  (рис. 4.5, *в*). Плотность заряда в ОИЗ, относенная к единице объема,

$$\rho_{\text{ОИЗ}} = qN, \quad (4.2)$$

где  $N$  — концентрация атомов донорной примеси.

Нигнебрегая зарядом электронов, распределение потенциала внутри ОИЗ получаем, решая уравнение Пуассона:

$$d^2\varphi/dx^2 = -\rho_{\text{ОИЗ}}/e_{r\text{Si}} e_0 \Rightarrow \varphi = qN/e_{r\text{Si}} e_0 x, \quad (4.3)$$

где  $e_{r\text{Si}}$  — диэлектрическая проницаемость полупроводника (кремния).

Интегрируя (4.3) с граничными условиями  $\varphi=0$ ,  $d\varphi/dx=0$  при  $x=l_0$ , получаем

$$\varphi(x) = qN(x+l_0)^2/2e_{r\text{Si}} e_0, \quad 0 \leq x \leq l_0. \quad (4.4)$$

Потенциал  $\varphi_S$  на границе раздела (при  $x=0$ ) называется поверхностным:

$$\varphi_S = qNL_0^2/2e_{r\text{Si}} e_0. \quad (4.5a)$$

откуда толщина ОПЗ

$$l_0 = \sqrt{2e_{rSi} \epsilon_0 \varphi_s / qN}. \quad (4.5b)$$

Напряженность электрического поля на поверхности полупроводника

$$E_S = -\frac{d\varphi}{dx} \Big|_{x=+0} = -\frac{qN}{e_{rSi} r_0} l_0, \quad (4.6)$$

Пренебрегая зарядом поверхностных состояний и учитывая непрерывность индукции у поверхности раздела диэлектрик — полупроводник, записываем

$$\frac{d\varphi}{dx} \Big|_D = \frac{\epsilon_{rSi}}{\epsilon_{rSi}} \frac{d\varphi}{dx} \Big|_{x=+0} = -\frac{qN}{e_{rSi} r_0} l_0, \quad (4.7)$$

где  $\epsilon_{rd}$  — относительная диэлектрическая проницаемость диэлектрика.

Напряжение на затворе ( $U_{зп}$ ) равно сумме напряжения на диэлектрике ( $U_d$ ) и в приповерхностной области ( $\varphi_s$ ) (рис. 4.5, б). При отсутствии заряда в диэлектрике имеем

$$U_{зп} = \frac{qNa}{r_{rd} r_0} l_0 + \frac{qN}{2e_{rSi} r_0} l_0^2, \quad (4.8)$$

где  $a$  — толщина диэлектрика.

Если на фоне постоянного отрицательного напряжения  $U_{зп}$  имеется еще небольшое изменение напряжения  $dU_{зп}$ , то толщина ОПЗ будет изменяться соответственно изменению напряжения затвора; при увеличении напряжения до значения  $U_{зп} + dU_{зп}$  толщина области возрастает до значения  $l_0 + dl_0$ , при уменьшении напряжения до  $U_{зп} - dU_{зп}$  имеем соответственно  $l_0 - dl_0$ . Следовательно, из (4.8) можем записать

$$dU_{зп} = \frac{qNa}{r_{rd} r_0} dl_0 + \frac{qN}{r_{rSi} r_0} l_0 dl_0. \quad (4.9)$$

Изменение заряда в металле равно изменению заряда в полупроводнике в противоположную по знаку, т. е.

$$dQ_3 = qN dl_0, \quad (4.10)$$

откуда с учетом (4.9) получим

$$\frac{dU_{зп}}{dQ_3} = \frac{a}{r_{rd} r_0} + \frac{l_0}{r_{rSi} r_0} = \frac{1}{C_3} + \frac{1}{C_S} = \frac{1}{C_a}, \quad (4.11)$$

где  $C_S$  — удельная дифференциальная приповерхностная ем-

кость или емкость обедненного слоя;  $C_a$  — удельная емкость диэлектрика;  $C_3$  — полная удельная емкость МДП-структуры или емкость затвора.

Неключив  $l_0$  из (4.9) и (4.11), представим емкость затвора  $C_3$  в зависимости от приложенного постоянного напряжения затвора  $U_{зп}$ :

$$C_3 = \frac{C_a}{\sqrt{1 + 2r_{rd}^2 r_0 |U_{зп}| / (qN e_{rSi} a^2)}}. \quad (4.12)$$

Далее рассмотрим физические процессы и емкость затвора в режиме инверсии.

#### 4.2.2. РЕЖИМ ИНВЕРСИИ МДП-СТРУКТУРЫ

При увеличении отрицательного напряжения на затворе ОПЗ расширяется вследствие ухода в глубь полупроводника и далее во внешнюю цепь основных несителей заряда — электронов. Одновременно к поверхности притягиваются неосновные несители заряда — дырки. Когда притащающий заряд неосновных несителей превысит убывающий заряд основных, тип электропроводности приповерхностного слоя полупроводника изменится на противоположный — произойдет инверсия электропроводности. Началу слабой инверсии соответствует условие  $p(0) = n(0) = n_i$  или

$$\varphi_N + \varphi_F = \varphi_F \ln(N/n_i), \quad (4.13a)$$

которое можно получить из (1.9).

Принято считать, что режим слабой инверсии переходит в режим сильной инверсии при таком граничном напряжении затвора  $U_{зп,кр}$ , когда приповерхностная концентрация дырок  $p(0)$  становится равной равновесной концентрации электронов в глубине полупроводника  $n_{л0}$ . Напряжение затвора относительно подложки, соответствующее этому граничному режиму, называется пороговым напряжением  $U_{н,р}$ . Поверхностный потенциал в этом случае

$$\varphi_S = 2\varphi_F + 2\varphi_T \ln(N/n_i) \quad (4.13b)$$

и при дальнейшем увеличении напряжения  $U_{зп}$  значение  $\varphi_s$  практически не меняется, так как притащающий заряд дырок из поверхности полупроводника экранирует объем полупроводника от воздействия поля затвора. Поэтому в режиме сильной инверсии емкость МДП-структуры  $C_3$

практически равна емкости диэлектрика:

$$C_3 = C_d = \epsilon_r \epsilon_0 / a. \quad (4.14)$$

Рисунок 4.5, *г* иллюстрирует режим сильной инверсии МДП-структуры при напряжении на затворе, большем порогового. Вблизи поверхности полупроводника концентрация дырок больше концентрации доноров и электронов: в результате около поверхности преобладает заряд дырок  $Q_p$ , далее располагается заряд ионов доноров  $Q_{\text{опз}} = qNl_0$ .

Обозначим поверхностный потенциал полупроводника относительно заземленной подложки  $U_x$ . При отсутствии заряда в диэлектрике напряженность электрического поля в нем  $E_d = (U_{\text{зи}} - U_x)/a$ , а отрицательный заряд затвора

$$Q_3 = \epsilon_r \epsilon_0 E_d = \epsilon_r \epsilon_0 (U_{\text{зи}} - U_x)/a = C_3 (U_{\text{зи}} - U_x). \quad (4.15)$$

Тогда условие сильной инверсии (условие формирования индуцированного канала) можно представить в виде

$$Q_p = Q_3 - Q_{\text{пов}} - Q_{\text{опз}} = C_3 (U_{\text{зи}} - U_{\text{пор}}) - Q_{\text{пов}} - Q_{\text{опз}} = 0, \quad (4.16)$$

откуда получим выражение для порогового напряжения, формально соответствующего условию  $Q_p = 0$ ,

$$U_{\text{пор}} = \varphi_s + (Q_{\text{пов}} + Q_{\text{опз}})/C_3, \quad (4.17)$$

где было положено  $U_x = \varphi_s$ , которое в режиме сильной инверсии определяется (4.13б).

#### 4.2.3. ЕМКОСТЬ МДП-СТРУКТУРЫ

Емкость МДП-структуры, или емкость затвора, представляет собой последовательное соединение емкости диэлектрика  $C_d$  и приверхностной емкости полупроводника  $C_s$  [см. (4.11)]. График реальной зависимости емкости затвора от напряжения на затворе дан на рис. 4.6 — так называемая вольт-фарадная характеристика МДП-структур.

Если  $U_{\text{зи}} > 0$  и полупроводниковая подложка имеет электронный тип проводимости, то около поверхности полупроводника находятся электроны. Приверхностный слой полупроводника при этом можно рассматривать как металлическую пластины, а удельную емкость затвора считать равной емкости диэлектрика:

$$C_3 = C_d = \epsilon_0 \epsilon_r / a, \quad (4.18a)$$

При переходе МДП-структуры в режим обеднения ( $U_{\text{зи}} < 0$ ) образуется ОПЗ и начинает оказываться влияние приверхностной емкости  $C_s$ , значение которой зависит от напряжения на затворе  $U_{\text{зи}}$  (см. § 4.2.1).

При превышении  $U_{\text{зи}}$  значения порогового напряжения в МДП-структуре происходит инверсия проводимости приверхностного слоя: концентрация дырок в инверсионном слое растет экспоненциально с напряжением, а поверхностный потенциал увеличивается пропорционально квадрату толщины обедненной области  $l_0$  [см. (4.5а)]. После того как значение  $l_0$  достигнет максимальной величины, дальнейшее приращение отрицательного заряда на затворе будет компенсироваться возрастанием концентрации дырок в канале. Появление избыточных дырок обеспечивается достаточно медленной генерацией электронно-дырочных пар в ОПЗ. Поэтому, если к постоянному напряжению  $U_{\text{зи}}$  добавляется малое переменное напряжение  $dU_{\text{зи}}$  с высокой частотой, то концентрация дырок в канале не успевает изменяться с частотой переменного напряжения и емкость МДП-структуры остается постоянной (рис. 4.6, кривая 1).

Если же частота изменений  $U_{\text{зи}}$  низкая, то концентрация дырок изменяется с частотой и емкость затвора приближается к емкости диэлектрика (рис. 4.6, кривая 2).

Рассмотрим теперь, как меняется емкость затвора при подаче на затвор импульса напряжения. Пусть в исходном состоянии напряжение на затворе равнялось нулю. Если теперь к затвору «скакком» прикладывается отрицательное напряжение  $|U_{\text{зи}}| \gg |U_{\text{пор}}|$ , то электроны удаляются от поверхности полупроводника и образуется ОПЗ. Однако инверсия проводимости не происходит, так как инверсионный процесс генерации дырок не успевает за изменением напряжения. Вследствие того что инверсионный слой отсутствует, отрицательный заряд на металлическом затворе может быть скомпенсирован только ионами доноров в ОПЗ. Поэтому толщина ОПЗ увеличивается. Удельная емкость структур в этом режиме во аналогии с (4.11) равна:

$$1/C_3 = 1/C_d + 1/C_s = a/\epsilon_0 \epsilon_r + (l_0 + \Delta l_0)/\epsilon_0 \epsilon_r s_t. \quad (4.18b)$$

Фактически в выражении (4.18b) отражено сохранение режима обеднения

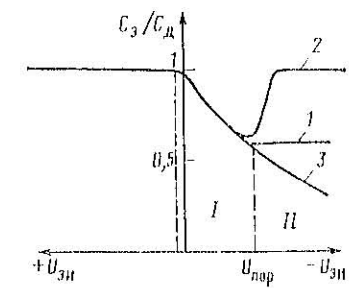


Рис. 4.6. Вольт-фарадная характеристика МДП-структуры:

*I* — режим обеднения; *II* — режим инверсии

ния и при напряжениях на затворе, больших порогового (при  $|U_{\text{зат}}| = -|U_{\text{пор}}| = \Delta U_{\text{зат}}$ ). В результате толщина обедненной области под действием «добавки»  $\Delta U_{\text{зат}}$  увеличивается на  $M_c$ , а значение емкости и общей емкости МДП-структуры уменьшается (рис. 4.6, кривая Э), из-за этого зависимость емкости затвора от напряжения на затворе аналогична зависимости барьерной емкости обратносеменченного  $p-n$  перехода обратного напряжения [ср. (1.76) и (4.12)].

#### 4.2.4. МДП-СТРУКТУРА КАК УПРАВЛЯЮЩИЙ ЭЛЕМЕНТ ПОЛЕВОГО ПРИБОРА

Рассмотренная МДП-структура обеспечивает управление выходной мощностью полевых приборов (прежде всего, МДП-транзистора). Такая структура в этом смысле ана логична управляющему  $p-n$  переходу в биполярных приборах.

С точки зрения эксплуатации полупроводникового прибора в схеме эти два управляющих элемента — МДП-структура и инжектирующий  $p-n$  переход — существенно отличаются.

МДП-структура в первом приближении представляет собой конденсатор, емкость которого зависит от амплитуды и частоты управляющего напряжения  $U_{\text{зат}}$  (рис. 4.6). Направляемый через МДП-конденсатор заряд затвора  $Q_z = C_{\text{зат}} U_{\text{зат}}$  определяет изменение сопротивления канала, чем больше  $C_{\text{зат}}$ , тем меньшее сопротивление канала и тем больший выходной ток и выходная мощность. Для маломощных интегральных МДП-структур значения емкости затвора  $C_z$  не превышают 1–10 пФ, МДП-структуры мощных транзисторов имеют емкость затвора до 100 пФ и более. Увеличение емкости затвора приводит к снижению быстродействия и росту потерь мощности в цепи управления (особенно на высоких частотах). Сохранение энергетических показателей и быстродействия на необходимом уровне требует достаточно больших напряжений управления МДП-структурой. Например, для обеспечения минимального сопротивления канала мощного МДП-транзистора необходимо управляющее напряжение  $|U_{\text{зат}}| \geq 15$  В.

Управление выходным током в управляемых биполярных приборах — транзисторах, триисторах — обеспечивается с помощью инжектирующего  $p-n$  перехода. По сравнению с МДП-управлением биполярное управление имеет заметные недостатки: требуется значительная управляющая мощность и режим источника тока в цепи управления

(для снижения влияния разброса параметров инжектирующего  $p-n$  перехода). Преимущества полевого управления столь велики (подробнее см. в § 4.6.5), что по прогнозам специалистов приборы на основе МДП-структур займут ведущее положение как в микросхемотехнике, так и в мощной (дискретной) электронике.

### 4.3. МДП-ТРАНЗИСТОР С ИНДУЦИРОВАННЫМ КАНАЛОМ

#### 4.3.1. КОНСТРУКЦИЯ И ПРИНЦИП ДЕЙСТВИЯ

Типичная конструкция МДП-транзистора с индуцированным  $p$ -каналом изображена на рис. 4.7, а. От рассмотренной ранее МДП-структуры она отличается введением  $p$ -областей стока и истока, и также соединенных с этими областями внешних электродов — стока и истока. Стоко-вая и истоковая  $p$ -области совместно с индуцированным  $p$ -каналом образуют выходную цепь МДП-транзистора. Управление выходной мощностью обеспечивается изменением напряжения на затворе: например, если напряжение на затворе станет более отрицательным, то сопротивление канала уменьшится и при заданном напряжении на стоке выходной ток  $I_C$  увеличится.

Расстояние между областями стока и истока определяет длину канала  $L$  (рис. 4.7, а). Затвор в МДП-транзисторе изолирован от подложки  $n$ -типа тонким слоем диэлектрика, поэтому мощность, потребляемая в цепи затвора и обеспечивающая управление сопротивлением канала, чрезвычайно мала. Мощность, которая выделяется в выходной цепи МДП-транзистора, и диапазон ее изменения могут быть очень большими. Принцип усиления мощности в МДП-транзисторе можно охарактеризовать с помощью упрощенной электрической модели МДП-транзистора (рис. 4.8). Цепь затвора заменена входным сопротивлением  $r_{\text{вх}} \approx 10^{10}$  Ом, а сопротивление канала — резистором  $r$ . Параметры внешней цепи: сопротивление нагрузки  $R_h = 100$  Ом, напряжение источника питания  $E_C = 20$  В. Пусть напряжение затвора изменилось на значение  $\Delta U_{\text{зат}} = 1$  В. Выходной ток  $I_C$  при этом вследствие изменения сопротивления канала изменился на  $\Delta I_C = 2$  мА. Таким образом, изменение входной мощности  $\Delta P_{\text{вх}} = (\Delta U_{\text{зат}})^2 / r_{\text{вх}} = 10^{-10}$  Вт вызывает изменение мощности в нагрузке  $\Delta P_{\text{вых}} = (\Delta I_C)^2 R_h = \approx 4 \cdot 10^{-3}$  Вт, т. е. мощность усиливается примерно в  $10^6$  раз. Принцип управления сопротивлением канала (приповерх-

ностного слоя) через емкость МДП-структуры был подробно рассмотрен в § 4.2. Коротко он сводится к следующему: при нулевом напряжении на затворе канал отсутствует и ток в выходной цепи МДП-транзистора с индуцированным каналом практически не протекает; при напряжении на затворе  $|U_{ЗИ}| > |U_{ВОР}|$  проходит инверсия проводимости приповерхностного слоя подложки и формируется проводящий канал (рис. 4.7, а — исток и внешний вывод от подложки электрически соединены).

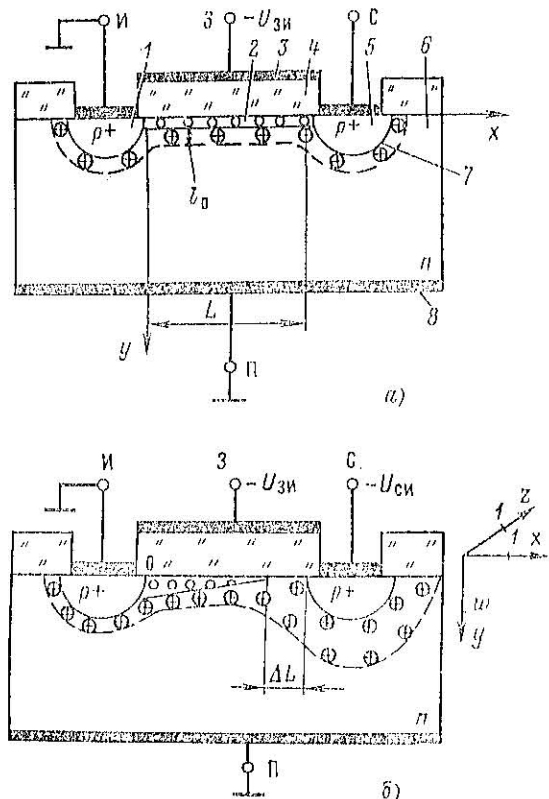


Рис. 4.7. Структура МДП-транзистора при  $U_{ЗИ} > U_{ВОР}$  и  $U_{СИ} = 0$  (а) и при  $U_{СИ} > U_{ЧИР}$  (б):

1 — область истока; 2 — р-канал; 3 — металлизация затвора; 4 — диэлектрик; 5 — металлизация подложки

Пусть  $|U_{ЗИ}| > |U_{ВОР}|$ , т. е. имеется проводящий р-канал, и на сток относительно истока подано отрицательное напряжение  $U_{СИ}$ . Тогда распределение потенциала в канале по оси  $x$  становится неравномерным: в точке  $x=0$  (вблизи истока — рис. 4.7, б) потенциал определяется только полем затвора и равен  $U_{ЗИ}-U_{ВОР}$ , а в точке  $x=L$  — совместным действием поля затвора и стока и равен  $U_{ЗИ}-U_{ВОР}-U_{СИ}$ . При увеличении напряжения  $|U_{СИ}|$  ток стока  $I_C$  также будет увеличиваться по линейному закону, так как увеличивается напряженность поля стока вдоль канала — дрейфовый ток дырок.

Одновременно с ростом напряжения  $|U_{СИ}|$  и тока стока  $I_C$  происходит расширение стокового р-п перехода; на переходе подается обратное напряжение, и он расширяется в сторону высокомоментной n-подложки (см. § 1.3). Однако в точке  $x=L$ , обратное напряжение на стоковом р-п переходе появляется только при достижении некоторого граничного значения  $|U_{СИр}| \approx |U_{ЗИ}-U_{ВОР}|$ , т. е. при компенсации в этой точке действия поля затвора. При этом дифференциальное сопротивление выходной цепи сток — исток резко увеличивается, так как оно определяется теперь сопротивлениями канала и обратноемкостного р-п перехода. Рост тока стока  $I_C$  при  $|U_{СИ}| > |U_{СИр}|$  практически прекращается, а стоковый р-п переход расширяется по оси  $x$  в сторону истока, и длина канала уменьшается на  $\Delta L$  (рис. 4.7, б).

### 4.3.2. ВЫХОДНЫЕ ВАХ МДП-ТРАНЗИСТОРА

Проведенное в предыдущем пункте краткое рассмотрение физических процессов в МДП-транзисторе при изменении напряжения стока позволяет определить в первом приближении вид *выходной ВАХ* прибора, т. е. зависимости выходного тока — тока стока  $I_C$  от выходного напряжения — напряжения стока  $U_{СИ}$ .

При заданном напряжении на затворе  $|U_{ЗИ}| > |U_{ВОР}|$  зависимость  $I_C = f(U_{СИ})$  должна иметь два выраженных

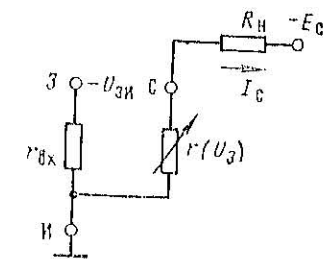


Рис. 4.8. К принципу усиления мощности в МДП-транзисторе

участка: участок крутого нарастания тока  $I_C$  с увеличением напряжения  $U_{\text{си}}$  (при  $|U_{\text{си}}| < |U_{\text{сигр}}|$ ) и пологий участок, на котором ток  $I_C$  меняется незначительно (при  $|U_{\text{си}}| > |U_{\text{сигр}}|$ ). Переход с одного участка выходной ВАХ на другой происходит при достижении граничного значения напряжения стока:

$$|U_{\text{си}}| = |U_{\text{зи}} - U_{\text{пор}}| = |U_{\text{сигр}}|. \quad (4.19)$$

Семейство выходных ВАХ МДП-транзистора с индуцированным каналом представлено на рис. 4.9.

Сравним выходные ВАХ МДП-транзистора с аналогичными ВАХ биполярного транзистора (см. рис. 2.23, б).

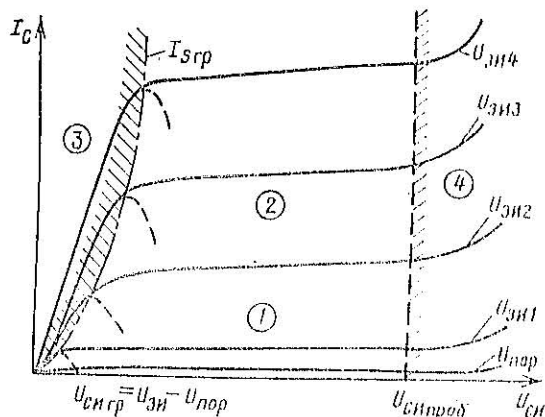


Рис. 4.9. Выходные ВАХ МДП-транзистора

Вид характеристик качественно примерно одинаков — имеется участок резкого изменения тока и участок, на котором изменение тока мало. Параметром семейства выходных ВАХ биполярного транзистора является ток базы — прибор управляет током; для МДП-транзистора параметр семейства выходных ВАХ — напряжение на затворе  $U_{\text{зи}}$  (прибор управляет напряжением). С увеличением напряжения  $U_{\text{зи}}$  сопротивление канала уменьшается и ток стока  $I_C$  возрастает — характеристика идет выше. Выходные ВАХ МДП-транзистора выходят из начала координат, в то время как выходные ВАХ биполярного транзистора могут быть сдвинуты по оси напряжений.

По аналогии с биполярным транзистором (см. § 2.2.10)

на графике семейства  $I_C = f(U_{\text{си}})$  МДП-транзистора можно выделить три основные рабочие области:

1 — область отсечки выходного тока: транзистор заперт ( $|U_{\text{си}}| < |U_{\text{фор}}|$ ), и в цепи стока протекает малый остаточный ток, обусловленный утечкой и обратным током стокового  $p-n$  перехода ( $\sim 10^{-6} \text{ А}$ );

2 — активная область (пологая часть выходных ВАХ  $|U_{\text{си}}| > |U_{\text{фор}}|$ ,  $|U_{\text{си}}| < |U_{\text{сигр}}|$ ) — область, где выходной ток  $I_C$  остается практически неизменным с ростом напряжения  $U_{\text{си}}$ ;

3 — область открытого состояния (крутая часть ВАХ): ток  $I_C$  в этой области работы задается внешней цепью.

Таким образом, в области 1 рабочая точка находится, если МДП-транзистор заперт, в области 3 — если открыт; эти области соответствуют статическим состояниям МДП-транзистора в ключевом режиме эксплуатации. Активная область (область 2) для ключевого режима МДП-транзистора является областью динамического состояния: в этой области рабочая точка находится кратковременно в течение переходного процесса из одного статического состояния в другое (из открытого в закрытое и наоборот).

В активной области (на пологом участке выходной ВАХ) рабочая точка находится при эксплуатации МДП-транзистора в усилительном режиме, когда между входным и выходным сигналами сохраняется линейная зависимость.

В области 4 достаточно больших напряжений  $U_{\text{си}}$  наступают предпробойные явления, а затем и пробой, сопровождающийся резким увеличением тока  $I_C$ . Пробой может иметь место не только в стоковом  $p-n$  переходе, но также и в диэлектрике — между стоком и затвором. Область пробоя определяет выбор предельно допустимых напряжений.

#### 4.3.3. УРАВНЕНИЕ ВЫХОДНОЙ ВАХ МДП-ТРАНЗИСТОРА

При выводе уравнения выходной ВАХ МДП-транзистора положим для простоты, что исток соединен с положительной. Итогом вывода должно быть уравнение, выражающее зависимость тока стока  $I_C$  от напряжения стока  $U_{\text{си}}$  и напряжения затвора  $U_{\text{зи}}$ .

По закону Ома плотность постоянного тока стока  $I_C$ , протекающего через канал с удельной проводимостью  $\sigma$

под воздействием продольного электрического поля напряженностью  $E_x$  (рис. 4.7, а),

$$J_C = \mu_S E_x = \mu_S Q_S E_x = \mu_S Q_S dU_x/dx, \quad (4.20)$$

(сравните с плотностью дрейфового тока в биполярном транзисторе), где  $\mu_S$  — подвижность носителей заряда в канале ( $\mu_S = \mu_{ps}$  — для канала  $p$ -типа,  $\mu_S = \mu_{ns}$  — для канала  $n$ -типа);  $Q_S$  — удельный заряд основных носителей в канале ( $Q_S = Q_{ps}$  — в канале  $p$ -типа,  $Q_S = Q_{ns}$  — в канале  $n$ -типа)<sup>1</sup>; индекс  $S$  указывает, что канал образуется в приповерхностной области.

Разделяя переменные в (4.20), получаем

$$J_C dx = \mu_S Q_S dU_x \quad (4.21)$$

При протекании тока падение напряжения на канале  $U_x$  в направлении к стоку становится более отрицательным и эффект поля затвора вблизи стока ослабляется. Поэтому индуцированный в канале заряд  $Q_S$  также уменьшается по оси  $x$  и при условии сильной инверсии проводимости канала [см. (4.16)] равен:

$$Q_S(x) = Q_3 - Q_{\text{пов}} - Q_{\text{ОПЗ}} = C_3(U_{\text{зи}} - U_x) - Q_{\text{пов}} - Q_{\text{ОПЗ}}, \quad (4.22)$$

где  $Q_{\text{пов}}$  — удельный заряд поверхностных состояний;  $Q_{\text{ОПЗ}}$  — удельный заряд ионов ОПЗ;  $C_3$  — емкость затвора,

Подставив (4.22) в (4.21) и умножив обе части выражения (4.21) на ширину канала  $w$ , можно перейти к интегрированию<sup>2</sup>. Пренебрегая зависимостью  $\mu_S(E)$ , получаем

$$J_C w \int_0^L dx = I_C \int_0^L dx = w \mu_S C_3 \int_{U_{\text{зи}}}^{U_{\text{сток}}} [(U_{\text{зи}} - U_x) - (Q_{\text{пов}} + Q_{\text{ОПЗ}})/C_3] dU_x. \quad (4.23)$$

Напряжение  $U_x$  здесь отсчитывается от заземленной подложки, и соответственно  $U_x(0) = \varphi_S$ , а  $U_x(L) = U_{\text{сток}} + \varphi_S$ . Считая, что заряды  $Q_{\text{пов}}$  и  $Q_{\text{ОПЗ}}$  не зависят от  $U_x$ , делим обе части (4.23) на длину канала  $L$  и интегрируем:

$$I_C = b \left[ (U_{\text{зи}} - U_{\text{пор}}) U_{\text{сток}} - \frac{1}{2} U_{\text{сток}}^2 \right], \quad (4.24)$$

<sup>1</sup> Удельный заряд — заряд, приходящийся на единицу площади канала  $S$ .

<sup>2</sup>  $I_C = J_C S = J_C w \cdot 1 = J_C w$ .

где пороговое напряжение

$$U_{\text{пор}} = \varphi_S + (Q_{\text{пов}} + Q_{\text{ОПЗ}})/C_3; \quad (4.24a)$$

удельная крутизна

$$b = \mu_S w C_3/L = \mu_S v_{\text{тр}} v_0 w/(aL). \quad (4.24b)$$

Выражение (4.24) представляет собой уравнение выходной ВАХ МДП-транзистора в области 3. Ток имеет максимум при напряжении на стоке, равном граничному значению:

$$U_{\text{сток}} = U_{\text{стокр}} = U_{\text{зи}} - U_{\text{пор}}. \quad (4.25)$$

На рис. 4.9 пунктирные кривые построены по уравнению ВАХ (4.24). После точки максимума при  $U_{\text{сток}} = U_{\text{стокр}}$  наблюдается отклонение построенных по (4.24) зависимостей от реальных ВАХ транзистора, т.е. полученное уравнение достаточно точно описывает только «крупную» часть реальной ВАХ МДП-транзистора. На этом участке ВАХ для  $p$ -канального транзистора, например, заряд канала (при  $x=L$ )

$$Q_{ps} = C_3 (U_{\text{зи}} - U_{\text{пор}} - U_{\text{сток}}).$$

Знак заряда  $Q_{ps}$  положительный (заряд дырок). При напряжениях на стоке, больших граничного ( $U_{\text{стокр}} = U_{\text{зи}} - U_{\text{пор}}$ ), заряд  $Q_{ps} < 0$ , что противоречит физическому смыслу.

В точке  $U_{\text{сток}} = U_{\text{стокр}}$  происходит так называемая отсечка канала, при этом разность потенциалов между затвором и поверхностью в точке  $x=L$  становится равной  $U_{\text{пор}}$ . Одновременно в этой точке стремится к нулю удельный заряд носителей в канале ( $Q_{ps}=0$ ). После этого ток стока практически перестает зависеть от напряжения на стоке  $U_{\text{сток}}$ , так как оно прикладывается в основном к ОПЗ вблизи стока. Небольшое увеличение тока стока при напряжениях стока, превышающих граничное значение ( $U_{\text{сток}} > U_{\text{стокр}}$ ), происходит за счет уменьшения длины канала вследствие роста толщины ОПЗ.

Геометрическое место граничных точек ( $I_{\text{стокр}}$ ,  $U_{\text{стокр}}$ ) представляет собой параболу

$$I_{\text{стокр}} = \frac{b}{2} U_{\text{стокр}}^2 \quad (4.26)$$

и делит семейство выходных ВАХ на крутую — слева от параболы [уравнение (4.24) справедливо] и пологую —

справа от параболы [где уравнение (4.24) несправедливо] части характеристики (рис. 4.9).

Для вывода уравнения, описывающего пологую часть ВАХ, допустим в первом приближении, что ток стока на этом участке не зависит от напряжения стока  $U_{\text{ст}}$ . Тогда ток стока постоянен и равен граничному значению  $I_{\text{ср}}$ , т. е. для пологой части выходной ВАХ имеем

$$I_C = I_{\text{ср}} = \frac{b}{2} (U_{\text{зи}} - U_{\text{пор}})^2. \quad (4.27)$$

Остановимся подробнее на причинах роста тока стока при  $U_{\text{ст}} > U_{\text{ст,ср}}$  на пологом участке ВАХ. Как уже отмечалось, одной из таких причин является уменьшение длины канала  $L$  с ростом стокового напряжения  $U_{\text{ст}}$ . Фактически это проявление известного из теории биполярных приборов эффекта Эрли-увеличения толщины ОПЗ  $p-n$  перехода с ростом обратного напряжения в МДП-транзисторе (см. § 2.8). Действительно, увеличение напряжения стока приводит к расширению области объемного заряда стокового  $p-n$  перехода (см. рис. 4.7). На всей поверхности  $p-n$  перехода его толщина пропорциональна  $\sqrt{U_{\text{ст}}}$ , а в точке соприкосновения с каналом — значению  $\sqrt{U_{\text{ст}} - U_{\text{ст,ср}}}$ . Уменьшение длины канала приводит к росту удельной крутизны в МДП-транзисторе и, значит, тока стока.

Кроме того, отрицательный заряд ионов акцепторов стоковой  $p$ -области наводит в области канала дополнительный заряд дырок. С ростом напряжения стока отрицательный заряд ионов увеличивается, сопротивление канала падает и ток стока возрастает.

Увеличение тока стока в пологой части характеристики можно учесть с помощью внутреннего сопротивления МДП-транзистора  $r_C$  (см. § 4.4.2):

$$r_C = \left. \frac{dU_{\text{ст}}}{dI_C} \right|_{U_{\text{зи}} \approx \text{const}} \approx \left. \frac{\Delta U_{\text{ст}}}{\Delta I_C} \right|_{U_{\text{зи}} = \text{const}},$$

Тогда уточненное уравнение выходных ВАХ в пологой части примет вид

$$I_C(U_{\text{ст}}) = I_{\text{ср}} + \Delta I_C = \frac{b}{2} (U_{\text{зи}} - U_{\text{пор}})^2 + \frac{U_{\text{ст}} - U_{\text{ст,ср}}}{r_C}. \quad (4.28)$$

Таким образом, уравнения (4.24), (4.25), (4.28) описывают выходные ВАХ МДП-транзистора и могут служить основой для построения статических моделей (см. § 6.4).

#### 4.3.4. ПРОХОДНЫЕ ВАХ МДП-ТРАНЗИСТОРА

Зависимость выходного тока стока  $I_C$  от управляющего напряжения на затворе  $U_{\text{зи}}$  (при  $U_{\text{ст}} = \text{const}$ ) называется *проходной или передаточной характеристикой* МДП-транзистора. Зависимость  $I_C(U_{\text{зи}})$  называют также *характеристикой входа-выхода* МДП-транзистора, так как она связывает входное управляющее напряжение  $U_{\text{зи}}$  и выходной ток  $I_C$  и определяет эффективность управления по затвору.

Семейство проходных ВАХ МДП-транзистора изображено на рис. 4.10. Характеристики начинаются в точке на оси входных напряжений  $U_{\text{зи}}$ , соответствующей пороговому значению напряжения затвора  $U_{\text{пор}}$ . Это естественно, так как только при  $U_{\text{зи}} > U_{\text{пор}}$  индуцируется производящий канал и появляется выходной ток  $I_C$ . С увеличением значения параметра семейства проходных характеристик — напряжения стока  $U_{\text{ст}}$  — зависимости  $I_C(U_{\text{зи}})$  смещаются вверх. Этот факт легко объяснить, если вернуться к выходным ВАХ МДП-транзистора. В самом деле, с ростом стокового напряжения при постоянном напряжении затвора ток стока увеличивается на любом участке выходной ВАХ (см. рис. 4.9), но с разным значением положительной производной: на кругом участке выходной ВАХ ток  $I_C$  увеличивается резко — производная большая, на пологом участке выходной ВАХ изменение тока  $I_C$  с ростом  $U_{\text{ст}}$  незначительно — производная мала.

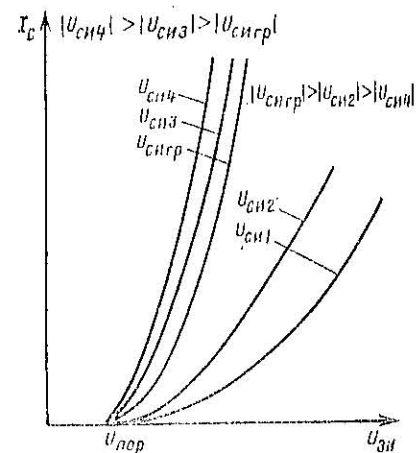


Рис. 4.10. Проходные ВАХ МДП-транзистора

Проходные характеристики в активной усилительной области работы МДП-транзистора — пологий участок выходной ВАХ ( $|U_{\text{си}}| > |U_{\text{спр}}|$ ) — хорошо описываются выражением (4.27), откуда для крутизны проходной ВАХ получим:

$$S = \frac{dI_C}{dU_{\text{зи}}} = b(U_{\text{зи}} - U_{\text{пор}}). \quad (4.29)$$

Крутизна  $S$  пропорциональна значению параметра  $b$ , который был введен ранее и назван удельной крутизной [см. (4.24б)]. Смысл этого термина выявляется из анализа выражения (4.29): при  $U_{\text{зи}} - U_{\text{пор}} = 1$  В значение  $b$  численно равно крутизне, т. е. удельная крутизна — это крутизна прибора при эффективном управляемом напряжении  $U_{\text{зи}} - U_{\text{пор}} = 1$  В.

Выражая эффективное напряжение управления  $U_{\text{си}} = U_{\text{зи}} - U_{\text{пор}}$  через ток стока из (4.27) и подставляя получение выражение в (4.29), получаем зависимость крутизны  $S$  от выходного тока  $I_C$ :

$$S = \sqrt{2bI_C}. \quad (4.30)$$

Полученное выражение, так же как и исходное (4.27), справедливо только в активной (пологой) области работы МДП-транзистора (при  $|U_{\text{си}}| \geq |U_{\text{спр}}|$ ).

#### 4.3.5. ВЛИЯНИЕ ПОДЛОЖКИ

При выводе уравнения выходной ВАХ распределение зарядов в МДП-структуре представляется в виде зарядовых слоев из заряда поверхностных состояний  $Q_{\text{пов}}$ , заряда индуцированных неосновных носителей и пространственного заряда ионов примеси  $Q_{\text{онз}}$ . Реально изменение концентраций зарядов плавное, и резко обозначенных границ между областями зарядов не существует. Поэтому выражение (4.24) достаточно точно описывает выходную ВАХ МДП-транзистора (погрешность не более 25 %) во всем рабочем диапазоне изменения напряжения стока  $U_C$ , если заряд ионов примеси  $Q_{\text{онз}}$  существенно не оказывает влияния на работе транзистора. Такое допущение справедливо для тонких слоев диэлектрика и высокоомных подложек с малой концентрацией примесей (с концентрацией доноров, например, не более  $2 \cdot 10^{15} \text{ см}^{-3}$ ). В противном случае, например для более низкоомных подложек, вводят коэф-

фициент влияния подложки  $\eta_n$ . Уточненное выражение для выходной ВАХ принимает тогда следующий вид:

$$I_C = b [(U_{\text{зи}} - U_{\text{пор}}) U_{\text{си}} - \frac{1}{2} (1 + \eta_n) U_{\text{си}}^2], \quad (4.31)$$

где коэффициент подложки  $\eta_n = \sqrt{\frac{2q\mu_e r_n N}{3C_3}}/\Phi_S$ .

Значение граничного напряжения при этом рассчитывается по формуле

$$U_{\text{спр}} = (U_{\text{зи}} - U_{\text{пор}})/(1 + \eta_n). \quad (4.32)$$

Значение граничного напряжения  $U_{\text{спр}}$ , полученное по (4.32), меньше, чем при расчете по формуле (4.25), не учитывющей влияние подложки.

Уравнение выходной ВАХ для пологой части характеристики также изменяется:

$$I_C = \frac{1}{2} \frac{b}{1 + \eta_n} (U_{\text{зи}} - U_{\text{пор}})^2. \quad (4.33)$$

При изменяющемся напряжении затвора  $U_{\text{зи}}$  (4.33) представляет собой одновременно уравнение проходной ВАХ МДП-транзистора [ср. с (4.27)].

До сих пор при рассмотрении процессов и выводе уравнений ВАХ МДП-транзистора предполагалось, что внешние электроды истока и подложки соединены, т. е. напряжение между истоком и подложкой отсутствует ( $U_{\text{ни}} = 0$ ). Рассмотрим теперь случай, когда исток и подложка не соединены, причем подложка имеет положительный потенциал относительно истока ( $U_{\text{ни}} > 0$ ). Тогда обратное напряжение, которое прикладывается к ОПЗ, увеличивается на значение  $U_{\text{ни}}$ , и заряд этой области соответственно увеличивается:

$$Q_{\text{онз}} = k \sqrt{\Phi_S + U_{\text{ни}}}, \quad (4.34)$$

где  $k = \sqrt{2q\mu_e r_n N}$ .

Значение порогового напряжения также возрастает [см. (4.24а)]:

$$U_{\text{пор}} = \Phi_S + \frac{Q_{\text{онз}}}{C_A} + \frac{k}{C_A} \sqrt{\Phi_S + U_{\text{ни}}} \quad (4.35)$$

Подставляя новое выражение для порогового напряжения в уравнение выходной ВАХ [например, в (4.31)], видим, что ток стока  $I_C$  становится функцией двух внешних напряжений: напряжения затвора  $U_{\text{зи}}$  и напряжения под-

ложки  $U_{\text{ти}}$ . Таким образом, управлять током стока  $I_C$  можно с помощью напряжения затвора  $U_{\text{зи}}$  и напряжения подложки  $U_{\text{ти}}$ . Для пологого участка выходной ВАХ получим, в частности,

$$I_C = \frac{b}{2(1+\eta_u)} \left( U_{\text{зи}} - U_{\text{пор}} - \frac{2}{3} \eta_u |U_{\text{ти}}| \right)^2, \quad (4.36)$$

откуда для крутизны характеристики по подложке имеем

$$S_u = \frac{dI_C}{dU_{\text{ти}}} = -\frac{2}{3} \frac{\eta_u}{1+\eta_u} b \left( U_{\text{зи}} - U_{\text{пор}} - \frac{2}{3} |U_{\text{ти}}| \right). \quad (4.37)$$

Знак минус перед всем выражением показывает, что ток стока  $I_C$  с ростом напряжения на подложке  $U_{\text{ти}}$  уменьшается.

Для крутизны характеристики по затвору получим также из выражения (4.36)

$$S_g = \frac{b}{1+\eta_u} \left( U_{\text{зи}} - U_{\text{пор}} - \frac{2}{3} \eta_u |U_{\text{ти}}| \right). \quad (4.38)$$

Вообще говоря, значения крутизны по затвору  $S_g$  и крутизны по подложке  $S_u$  не сильно отличаются друг от друга:  $S_g$  тем больше по отношению к  $S_u$ , чем меньше коэффициент влияния подложки  $\eta_u$ . Однако управление по затвору всегда предпочтительнее, так как при этом входное сопротивление цепи управления МДП-транзистора определяется диэлектриком и равно  $\approx 10^{13}$  Ом и более. Входное сопротивление при управлении по подложке на три-четыре порядка величины меньше (определяется обратносмещененным истоковым  $p-n$  переходом). Следует также подчеркнуть, что введение в цепь напряжения подложки  $U_{\text{ти}}$  приводит к снижению крутизны МДП-транзистора по затвору [см. (4.38)].

#### 4.4. ПАРАМЕТРЫ И ХАРАКТЕРИСТИКИ МДП-ТРАНЗИСТОРА

##### 4.4.1. ПАРАМЕТРЫ И ХАРАКТЕРИСТИКИ МДП-ТРАНЗИСТОРА В УСИЛИТЕЛЬНОМ РЕЖИМЕ

Так же как и биполярные транзисторы, МДП-транзисторы эксплуатируются в двух основных режимах: усилительном и ключевом (см. Введение).

Простейшая схема усилительного каскада на МДП-транзисторе с активной нагрузкой  $R_L$  изображена на рис.

4.11. Через последовательное соединение резистора  $R_h$  и транзистора протекает ток стока

$$I_C = (E_C - U_{\text{ци}})/R_h. \quad (4.39)$$

При заданном напряжении затвора  $U_{\text{зи}}$  ток стока  $I_C$  определяется точками пересечения ВАХ резистора (4.39) и соответствующей ВАХ транзистора (рис. 4.12) — рабочей точкой ВАХ. Положение рабочей точки в режиме покоя (точка  $B$  при  $U_{\text{зи}} = U_{\text{зи}0}$ ) определяет параметры усилительного режима в точке покоя. Положения рабочей точки при изменении напряжения на затворе характеризуют динамические состояния МДП-транзистора.

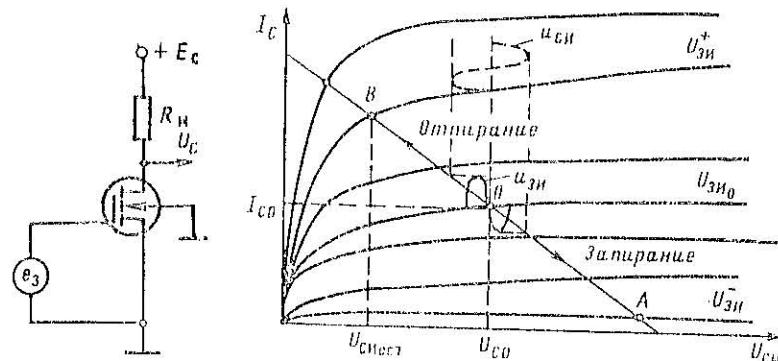


Рис. 4.11. МДП-транзистор в усилительном режиме — схема включения с общим истоком

Рис. 4.12. Положения рабочей точки МДП-транзистора в усилительном режиме на выходных ВАХ

В усилительном режиме эксплуатации МДП-транзистора рабочая точка не выходит за пределы пологой части выходной ВАХ транзистора, т. е. за пределы активной области. Соответствующие положения рабочей точки на проходной ВАХ транзистора приходятся на участок с наибольшей крутизной характеристики (рис. 4.13).

Количественно усилительный режим характеризуют параметрами малого сигнала, которые описывают выходную и проходную ВАХ МДП-транзистора вблизи точки статического состояния этого режима — около точки покоя.

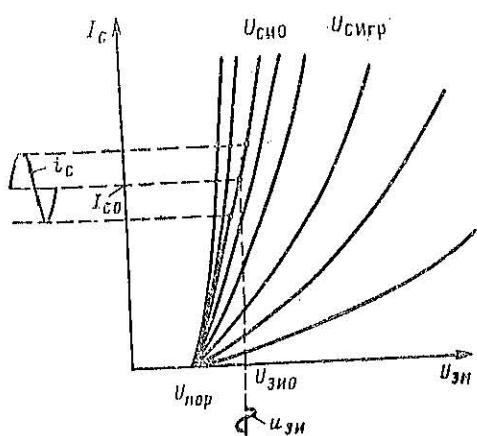


Рис. 4.13. Положения рабочей точки МДП-транзистора в усиливальном режиме на проходных ВАХ

Рис. 4.15. Графическое определение выходного сопротивления МДП-транзистора

Для МДП-транзистора используются следующие малосигнальные параметры:

$$\text{крутизна } S = dI_C/dU_{ZIN} \Big|_{U_{CIN}=\text{const}} \quad (4.40\alpha)$$

характеризует крутизну проходной ВАХ транзистора в точке покоя (рис. 4.14);

внутреннее (выходное) сопротивление

$$r_C = dU_{CIN}/dI_C \Big|_{I_C=\text{const}} \quad (4.40\beta)$$

характеризует наклон выходной ВАХ на пологом участке (рис. 4.15);

коэффициент усиления по напряжению

$$k_u = dU_{CIN}/dU_{ZIN} \Big|_{I_C=\text{const}}. \quad (4.40\gamma)$$

Перечисленные малосигнальные параметры связаны между собой:

$$k_u = Sr_C. \quad (4.41)$$

Итак, фактически усиление МДП-транзистора характе-

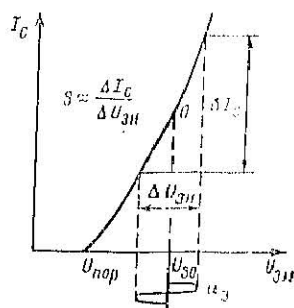
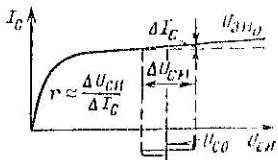


Рис. 4.14. Графическое определение крутизны МДП-транзистора



ризуется двумя параметрами; обычно используют крутизну и внутреннее сопротивление.

Внутреннее сопротивление  $r_C$  обусловлено изменением длины канала с ростом напряжения на стоке: обратносмещенный стоковый  $p-n$  переход расширяется с ростом  $U_{CIN}$ , увеличивается удельная крутизна  $b$ , и ток стока  $I_C$  увеличивается (см. § 4.3.4). Можно выразить параметр  $r_C$  через электрофизические параметры МДП-структуры:

$$r_C = L \sqrt{\frac{2qN}{\epsilon_0 \epsilon_{RH}} \frac{V_{CIN}}{I_C}}, \quad (4.42)$$

где  $L$  — длина канала;  $N$  — концентрация донорной примеси;  $\epsilon_{RH}$  — относительная диэлектрическая проницаемость подложки — кремния.

Подставляя типичные для маломощных (интегральных) МДП-транзисторов параметры структуры  $N = 10^{16} \text{ см}^{-3}$ ,  $V_{CIN} = 16 \text{ В}$ ,  $I_C = 1 \text{ мА}$ ,  $L = 10 \text{ мкм}$ , получаем  $r_C = 200 \text{ к}\Omega$ .

Крутизна характеристики в области усиления определяется выражением (4.29), подставляя в которое формулу расчета удельной крутизны (4.24б), получаем:

$$S = \mu_S \omega C_3 (U_{ZIN} - U_{POR})/L. \quad (4.43)$$

Крутизна увеличивается с ростом напряжения на затворе [см. (4.35)]. Практически это единственный способ воздействия на значение крутизны при эксплуатации МДП-транзистора в усиливальном режиме.

Рассмотрим подробнее параметры, характеризующие быстродействие МДП-транзисторов в усиливальном режиме эксплуатации.

Инерционность МДП-транзистора по отношению к быстрым изменениям напряжения на затворе, приводящая к снижению его усиительных свойств, определяется двумя факторами: перезарядом емкости затвора  $C_3$  и перезарядом межэлектродных емкостей.

Цепь затвора, вообще говоря, представляет собой систему с распределенными электрическими параметрами: распределенной емкостью затвора  $C_3$  и распределенным сопротивлением канала  $r$  (рис. 4.16). Изменение напряжения на затворе  $U_{ZIN}$  вызывает изменение поля в диэлектрике и полупроводнике вблизи истока: здесь в первую очередь изменяется сопротивление канала. Постепенно изменения поля и сопротивления канала достигают стока, и емкость затвора перезаряжается. Лишь после перезаряда

емкости происходит изменение тока стока  $I_C$ , соответствующее изменению входного напряжения  $U_{ЗИ}$ . Описанный процесс изменения электрического состояния распределенных параметров структуры упрощенно можно представить как перезаряд сосредоточенной емкости затвора  $C_3$  через сосредоточенное сопротивление канала  $r$  (рис. 4.16, б). Следует напомнить, что емкость затвора зависит также от частоты изменения входного сигнала (см. § 4.2.3). Формулу для оценки сопротивления канала можно получить из (4.24) в предположении, что напряжение затвора  $U_{ЗИ} \gg U_{СИ}$  — «на крутой» ВАХ —

$$r = r_{\text{кан}} = U_{\text{СИ}} / I_C = 1/b (U_{\text{ЗИ}} - U_{\text{пор}}), \quad (4.44)$$

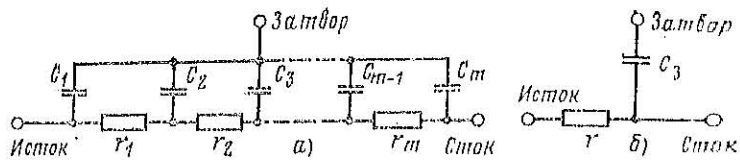


Рис. 4.16. Схема замещения цепи затвора МДП-транзистора с распределенными параметрами (а) и упрощенная с сосредоточенными параметрами (б)

Перезаряд емкости через сопротивление, как известно, описывается экспоненциальной функцией. Этой же функцией описывается переходная характеристика крутизны  $S(t)$ , поскольку по определению крутизны есть изменение выходного тока  $I_C$  при заданном изменении входного напряжения  $U_{ЗИ}$ :

$$S(t) = S(1 - e^{-t/\tau_s}), \quad (4.45a)$$

где  $\tau_s = C_3 r_{\text{кан}}$  — постоянная времени крутизны.

Частотную характеристику крутизны — зависимость крутизны от частоты — можно представить в следующей форме:

$$S = S / [1 + j(\omega/\omega_s)], \quad (4.45b)$$

где  $\omega_s = 1/\tau_s$  — угловая граничная частота, откуда амплитудно-частотная и фазо-частотная характеристики крутизны равны:

$$S(\omega) = \frac{S}{\sqrt{1 + (\omega/\omega_s)^2}}; \quad (4.45b)$$

$$\varphi(\omega) = -\arctg(\omega/\omega_s). \quad (4.45c)$$

Графики амплитудно-частотной и фазочастотной характеристики представлены на рис. 4.17.

Интересно оценить значение постоянной времени  $\tau_s$ , определяющей собственную инерционность МДП-транзистора. Учитыв выражения для удельной крутизны (4.24б) и сопротивления канала (4.44), представим постоянную времени  $\tau_s$  в функции параметров структуры:

$$\tau_s = C_3 r_{\text{кан}} = \frac{C_3 \rho_{\text{кан}}}{n} \omega L \frac{1}{b(U_{\text{ЗИ}} - U_{\text{пор}})} = \frac{L^2}{b(U_{\text{ЗИ}} - U_{\text{пор}})}. \quad (4.46)$$

Для типичных значений величин, входящих в (4.46), постоянная времени  $\tau_s$  равна примерно 0,1 нс, а граничная частота — соответственно примерно 1000 МГц.

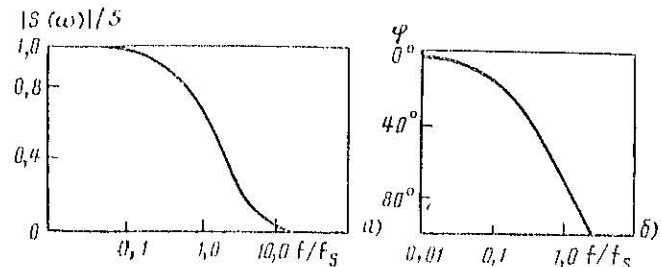


Рис. 4.17. Амплитудно-частотная (а) и фазочастотная (б) характеристики крутизны

У современных МДП-транзисторов достижимые значения длины канала  $L \approx 1$  мкм,  $\tau_s \approx 0,01$  нс и  $f \approx 15$  ГГц. Такие значения обычно позволяют пренебречь при анализе быстродействия МДП-транзистора инерционностью крутизны. Фактически длительность перезаряда емкости затвора определяет предельно достижимое быстродействие МДП-транзистора при коротком замыкании цепи стока, когда влиянием межэлектродных емкостей можно пренебречь.

При наличии сопротивления в цепи стока быстродействие МДП-транзистора обычно определяют межэлектродные емкости. Основная причина возникновения межэлек-

тродных паразитных емкостей между затвором и стоком  $C_{S3}$  и между затвором и истоком  $C_{3n}$  — это перекрытие областей стока и истока металлизацией затвора (см. рис. 4.7). В результате, если даже ток стока  $I_C$  изменяется мгновенно («скакком»), то напряжение стока  $U_{C3}$  будет изменяться со скоростью перезаряда межэлектродных емкостей. Скорость этого перезаряда зависит от внешних сопротивлений, т. е., вообще говоря, определяется не только свойствами собственно МДП-транзистора. Однако при прочих равных условиях длительность перезаряда межэлектродных емкостей тем меньше, чем меньше значение этих емкостей. В этом смысле межэлектродные емкости также являются показателем быстродействия МДП-транзистора.

Из сказанного ясно, что относительная роль обоих факторов — перезаряда емкости затвора и перезаряда емкостей между электродами — заключается в их влиянии на инерционность транзистора и во многом зависит от схемы. Поэтому точная оценка быстродействия возможна только в реальной схеме устройства с использованием динамической малосигнальной модели МДП-транзистора.

#### 4.4.2. ПАРАМЕТРЫ МДП-ТРАНЗИСТОРА В КЛЮЧЕВОМ РЕЖИМЕ

Рассмотрим ключевой режим эксплуатации МДП-транзистора при работе на резистивно-емкостную нагрузку<sup>1</sup> (рис. 4.18) в статическом и динамическом состояниях.

Открытое статическое состояние МДП-транзистора обеспечивается при выполнении условия

$$|U_{3n}^+| > |U_{\text{пор}}|, \quad (4.47)$$

где  $U_{3n}^+$  — отпирающее напряжение на затворе;  $U_{\text{пор}}$  — пороговое напряжение.

Открытый МДП-транзистор тем ближе к идеальному замкнутому ключу, чем меньше падение напряжения на нем, называемое остаточным напряжением  $U_{\text{ост}}$ . При этом ток стока  $I_C$ , протекающий через открытый МДП-транзистор, так же как и в ключе на биполярном транзисторе,

<sup>1</sup> Вместо резистора используют в качестве нагрузки МДП-транзистор, у которого затвор и сток соединены (так называемая «динамическая нагрузка»); основное отличие в анализе ключа с динамической нагрузкой заключается в учете ее нелинейности; основные выводы анализа для обоих типов нагрузок практически совпадают.

практически задается внешней цепью — нагрузочным резистором  $R_n$  и источником ЭДС  $E_n$ :

$$I_C = (E_n - U_{\text{ост}})/R_n \approx E_n/R_n. \quad (4.48)$$

Статическое состояние открытого ключа графически определяется по точке пересечения ВАХ нагрузки и ВАХ МДП-транзистора (точка  $B$  на рис. 4.12). Наклон выходной ВАХ МДП-транзистора на ее крутом участке при больших напряжениях на затворе характеризуется сопротивлением канала  $r_{\text{кан}}$  [см. (4.44)]. Следует подчеркнуть, что чем больше значение напряжения на затворе  $U_{3n}$ , тем круче наклон выходной ВАХ, меньшее сопротивление канала и меньшее остаточное напряжение  $U_{\text{ост}}$ . Зависимость сопротивления канала от напряжения на затворе  $r_{\text{кан}} = f(U_{3n})$  приведена на рис. 4.19. Типичные значения сопротивления канала  $r_{\text{кан}}$  для интегральных транзисторов — не ниже 1 Ом, для мощных — десятые доли ома.

Остаточное напряжение можно определить, умножив ток стока  $I_C$  на сопротивление канала МДП-транзистора:

$$U_{\text{ост}} = I_C r_{\text{кан}} = \frac{E_n}{R_n} r_{\text{кан}} = \frac{E_n}{R_n} \frac{1}{b(U_{3n} - U_{\text{пор}})}, \quad (4.49)$$

где  $b$  — удельная крутизна.

Таким образом, остаточное напряжение определяется отношением сопротивления канала  $r_{\text{кан}}$  к сопротивлению нагрузки  $R_n$ . Интересно отметить, что мощные МДП-транзисторы (на выходные токи 1—10 А и более) имеют низкие значения сопротивления канала ( $r_{\text{кан}} \approx 0,1$  Ом); однако отношения  $r_{\text{кан}}/R_n$  в мощных ( $R_n$  мало) и в маломощных схемах ( $R_n$  велико) практически равны. Соответственно остаточное напряжение  $U_{\text{ост}}$  в обоих случаях примерно одинаково и имеет значения 100 мВ и менее.

Закрытое статическое состояние МДП-ключа обеспечивается при выполнении условия

$$|U_{3n}^-| < |U_{\text{пор}}|, \quad (4.50)$$

где  $U_{3n}^-$  — запирающее напряжение на затворе.

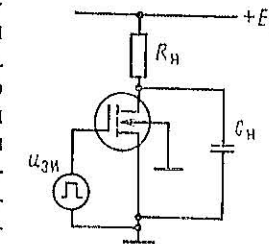


Рис. 4.18. МДП-транзистор в ключевом режиме (схема с общим истоком)

Закрытый МДП-транзистор тем ближе к идеальному разомкнутому ключу, чем меньше протекающий через него в этом состоянии выходной ток, называемый остаточным током. Практически остаточный ток равен обратному току стокового  $p-n$  перехода и составляет  $10^{-9}$ — $10^{-10}$  А. Поэтому падением напряжения от остаточного тока на сопротивление нагрузки можно пренебречь и считать, что напряжение на закрытом МДП-транзисторе равно напряжению источника питания ( $U_{\text{СИ}} \approx E_c$ ). Таким образом, перепад напряжения на выходе МДП-транзистора, работающего в ключевом режиме

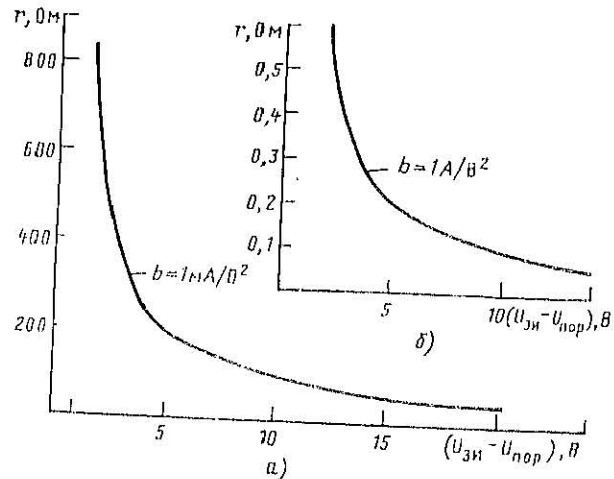


Рис. 4.19. Зависимость сопротивления канала от напряжения затвора для маломощного (а) и мощного (б) МДП-транзисторов

вом режиме, равный разности выходных напряжений в статических состояниях, составляет

$$\Delta U_{\text{СИ}} = E_c - U_{\text{ост}} \approx E_c.$$

Рассмотрим динамические состояния МДП-транзистора в ключевом режиме эксплуатации. Анализ динамических состояний с точки зрения правильной эксплуатации МДП-транзистора необходим по двум основным причинам: во-первых, для оценки быстродействия ключа на МДП-транзисторе, т. е. скорости его переключения; во-вторых, для оценки динамических потерь, энергия которых мала (длительность переходных процессов много меньше длительно-

сти статических состояний), но мощность динамических потерь очень большая, так как ток и напряжения во время переходных процессов значительны.

Так же как и в усилительном режиме эксплуатации, быстродействие МДП-транзистора определяется двумя факторами: перезарядом емкости затвора  $C_3$  и перезарядом межэлектродных емкостей. Однако при этом вследствие больших перепадов напряжений на затворе и стоке в ключевом режиме эксплуатации приходится учитывать зависимость указанных емкостей от напряжения (см. § 4.2.3).

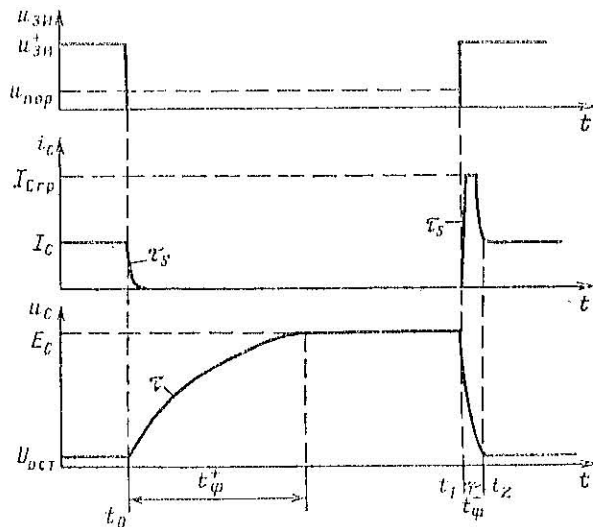


Рис. 4.20. Диаграммы работы МДП-транзистора в ключевом режиме

Пусть в исходном состоянии МДП-транзистор открыт и на нем падает небольшое остаточное напряжение  $U_{\text{ост}}$ . При подаче на затвор скачка запирающего напряжения  $U_{\text{зн}} > U_{\text{пор}}$  (момент времени  $t_0$  на рис. 4.20) ток в транзисторе спадает практически до нуля с постоянной времени крутизны  $\tau_s = C_3 r_{\text{кан}}$  и транзистор запирается. После момента времени  $t_0$  начинается заряд емкости нагрузки  $C_n$  от источника питания  $E_c$  через резистор  $R_n$  с постоянной времени нагрузки  $\tau = C_n R_n$  (см. рис. 4.18). Выходное (стоковое) напряжение парастает по экспоненциальному закону:

$$U_{\text{СИ}}(t) = E_c (1 - e^{-t/\tau}). \quad (4.51)$$

Из (4.51) можно определить длительность положительного фронта  $t_{\phi}^+$  выходного напряжения (рис. 4.20).

Сопротивление нагрузки задает амплитуду выходного тока в открытом состоянии МДП-транзистора [см. (4.48)], и формулу для расчета положительного фронта можно представить в виде

$$t_{\phi}^+ = 3,0 R_n C_n \approx 3,0 E_C C_n / I_{Cp}. \quad (4.52)$$

Положительный фронт определяет продолжительность перехода транзистора из открытого состояния в закрытое — это переходный процесс запирания МДП-транзистора.

Рассмотрим теперь переходный процесс отпирания МДП-транзистора. При подаче на затвор скачка отпирающего напряжения  $U_{Zn}^+$  (момент времени  $t_1$  на рис. 4.21) ток стока  $I_C$  со скоростью, задаваемой постоянной времени  $\tau_s$ , достигает граничного значения  $I_{Csr}$ . Этим током начинает разряжаться емкость нагрузки  $C_n$ , и напряжение на ней, а значит,

и напряжение на стоке транзистора уменьшаются. До тех пор пока напряжение на стоке  $U_{Cn} > U_{Csr}$ , разрядный ток емкости нагрузки практически равен  $I_{Csr}$ . Когда  $U_{Cn} < U_{Csr}$ , ток стока  $I_C$  начинает спадать и достигает значения  $I_C$  (момент времени  $t_2$  на рис. 4.21).

Длительность отрицательного фронта  $t_{\phi}^-$  можно оценить, поделив накопленный емкостью заряд в открытом статическом состоянии ( $E_C C_n$ ) на постоянный ток разряда  $I_{Csr}$ :

$$t_{\phi}^- = E_C C_n / I_{Csr}. \quad (4.53)$$

Сравнение (4.52) и (4.53) показывает, что длительность отрицательного фронта много меньше длительности положительного ( $t_{\phi}^- \ll t_{\phi}^+$ ), так как  $I_{Csr} \gg I_C$ . Этот вывод имеет качественный характер вследствие того, что при расчете фронтов не учитывалась нелинейность выходной ВАХ на интервале времени  $t_1 - t_2$ ; достаточно грубым является допущение постоянства значений емкостей, входящих в эквивалентную схему нагрузки, при изменении напряжения.

Более точные расчеты производятся с помощью динамических моделей МДП-транзистора для большого сигнала (см. гл. 6).

#### 4.4.3. КОМПЛЕМЕНТАРНЫЕ МДП-ТРАНЗИСТОРЫ В КЛЮЧЕВОМ РЕЖИМЕ

Комплементарные МДП-транзисторы представляют собой совокупность двух МДП-транзисторов с каналами разного типа проводимости (с *n*- и *p*-каналами); такая комплементарная пара МДП-транзисторов имеет общие затворы и общие стоки (рис. 4.21).

Пусть в исходном состоянии управляющее напряжение на входе комплементарной пары равно нулю ( $v_3 = 0$ ), тогда

$$U_{Zn1} = 0; \quad U_{Zn2} = -E_C. \quad (4.54a)$$

Следовательно, транзистор  $VT1$  комплементарной пары (*n*-канальный) заперт (напряжение  $|U_{Zn1}| < |U_{Zn2}|$ ), а транзистор  $VT2$  (*p*-канальный) открыт ( $|U_{Zn1}| > |U_{Zn2}|$ ).

Пусть теперь напряжение на затворе комплементарной пары принимает значение  $v_3 = U_{Zn1} = E_C$ , тогда

$$U_{Zn1} = E_C; \quad U_{Zn2} = 0. \quad (4.54b)$$

При таких значениях напряжений *n*-канальный транзистор  $VT1$  открыт, а *p*-канальный  $VT2$  заперт.

В обоих рассмотренных состояниях выходной ток стока  $I_C = I_{Csr}$  так как всегда один из транзисторов комплементарной пары заперт и мощность в выходной цепи практический не потребляется. Снижение выходного тока до значения  $I_{ost}$  в «открытом» статическом состоянии комплементарного МДП-транзистора обеспечивает одновременно резкое уменьшение значения остаточного напряжения из открытого ключа до единиц микровольт и менее:

$$U_{ost} = I_{ost} r_{kan} \approx I_{ost} / b (E_C - U_{vop}). \quad (4.55)$$

Для типичных значений, входящих в (4.55):  $I_{ost} = 10^{-9} \text{ А}$ ,  $b = 0,1 \text{ мА/В}$ ,  $E_C = U_{vop} = 5 \text{ В}$ , получим, например,  $U_{ost} = 2 \text{ мВ}$ .

Особенностью динамики переключения комплементарной пары является практически полная симметричность процессов заряда и разряда емкости нагрузки: заряд происходит через открытый транзистор  $VT2$  (при запертом

$VT1$ ), а разряд — через открытый транзистор  $VT1$  (при запертом  $VT2$ ). Поэтому длительности отрицательного и положительного фронтов импульса выходного напряжения при переключении комплементарной пары почти одинаковы (с точностью до разброса параметров транзисторов, составляющих комплементарную пару):

$$t_{\phi}^+ = t_{\phi}^- \approx E_C C_n / I_{\text{ср}}. \quad (4.56)$$

Сравнив (4.56) и (4.52), (4.53), можно сделать вывод, что комплементарная пара в ключевом режиме эксплуатации имеет большее быстродействие, чем одиночный МДП-транзистор<sup>1</sup>.

#### 4.5. ПОЛЕВОЙ ТРАНЗИСТОР С УПРАВЛЯЮЩИМ $p-n$ ПЕРЕХОДОМ

##### 4.5.1. СТРУКТУРА И ОСНОВНЫЕ ОСОБЕННОСТИ

Основные особенности полевых транзисторов с управляемым  $p-n$  переходом (ПТУП) рассмотрим на примере структуры, приведенной на рис. 4.22: она состоит из пластин полупроводника  $p$ -типа, к торцам которой присоединены

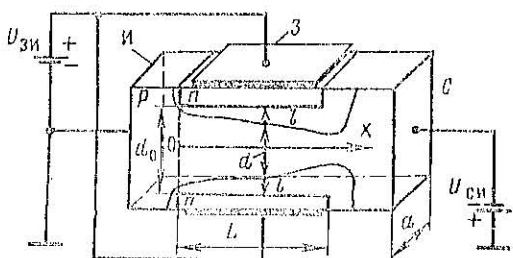


Рис. 4.22. Структура полевого транзистора с управляемым  $p-n$  переходом

сток и исток; боковые грани пластины образованы областями  $n$ -типа, к которым присоединяется затвор; между  $p-n$  переходами располагается проводящий канал ПТУП,

<sup>1</sup> Она является основой ИС на комплементарных МДП-транзисторах (КМДП ИС).

который имеет следующие геометрические размеры:  $L$  — длина,  $d$  — толщина,  $a$  — ширина.

При подаче  $U_{\text{зи}} > 0$   $p-n$  переходы оказываются под обратным напряжением и толщина канала  $d$  уменьшается, так как ОПЗ распространяется в сторону канала ( $l$  увеличивается — рис. 4.23), в результате площадь сечения канала уменьшается, а его сопротивление возрастает. Таким образом, сопротивление канала «следит» за управляющим напряжением затвор — исток, изменяясь соответственно значениям напряжения  $U_{\text{зи}}$ .

Легко видеть, что принципы управления ПТУП и МДП-транзистора в основном совпадают:

цепь управления изолирована от выходной цепи и потребляет ничтожную мощность управления;

эффект управления сводится к заряду управляющей емкости (в ПТУП это барьерная емкость  $p-n$  перехода) и соответствующему изменению сопротивления канала;

управляющее электрическое поле (под затвором) направлено перпендикулярно выходному току, т. е. имеем структуру с горизонтальным каналом.

Наряду с общими свойствами, позволяющими отнести эти транзисторы к одному классу полевых приборов, каждый из них обладает рядом отличий, предопределяющих особенности эксплуатации этих приборов. Здесь сразу отметим, что ПТУП — нормально открытый прибор, а МДП-транзистор с индуцируемым каналом — нормально закрытый.

##### 4.5.2. ПРИНЦИП ДЕЙСТВИЯ

Рассмотрим процессы в канале ПТУП при  $U_{\text{зи}}=0$ . Тогда зависимость толщины канала  $d$  от напряжения затвор — исток  $U_{\text{зи}}$  (см. § 1.3.2) имеет вид<sup>1</sup>

$$d = d_0 - l(U_{\text{зи}}) \cdot d_0 = \sqrt{2e_0 \epsilon U_{\text{зи}} / (qN)}, \quad (4.57)$$

где  $d_0$  — исходная максимально возможная толщина канала (при  $U_{\text{зи}}=0$ ).

При некотором значении  $U_{\text{зи}}$  ОПЗ занимает весь канал ( $l=d_0$ ) — происходит так называемая отсечка канала. Из (4.57) нетрудно выразить напряжение  $U_{\text{отс}}$ , при котором

<sup>1</sup> Высота потенциального барьера в равновесном состоянии не учитывается.

достигается отсечка канала — напряжение отсечки (при  $d=0$ ):

$$U_{\text{отс}} = \left( qN / 2e_0 e_r \right) d_0^2, \quad (4.58)$$

Тогда

$$d = d_0 \left[ 1 - \sqrt{U_{\text{зи}} / U_{\text{отс}}} \right]. \quad (4.59)$$

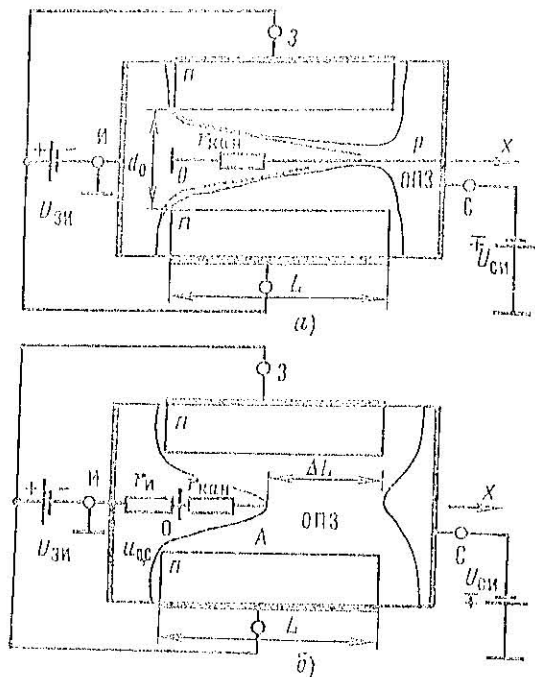


Рис. 4.23. Распределение области пространственного заряда в канале ПТУП при  $U_{\text{сп}} \ll U_{\text{спир}}$  (а) и при  $U_{\text{сп}} \gg U_{\text{спир}}$  (б)

Рассмотрим процессы в канале ПТУП при  $U_{\text{сп}} \neq 0$ . Толщина канала в этом случае будет зависеть не только от  $U_{\text{зи}}$ , но и от  $U_{\text{сп}}$ , которое распределяется по оси  $x$  (рис. 4.23, а); в точке канала с координатой  $x$  падение напряжения равно  $U(x)$ , а напряжение на  $p$ - $n$  переходе  $U_{\text{зи}} + U(x)$ . Тогда толщина канала  $d$  также есть функция координаты  $x$ :

$$d(x) = d_0 \left[ 1 - \sqrt{[U_{\text{зи}} + U(x)] / U_{\text{отс}}} \right]. \quad (4.60)$$

При увеличении  $U_{\text{сп}}$  толщина канала будет уменьшаться прежде всего вблизи стока (при  $x=L$ ), а сопротивление канала расти. Когда  $U_{\text{сп}}$  достигает граничного значения, при котором

$$U_{\text{спир}} = U_{\text{отс}} = U_{\text{зи}} \quad (4.61)$$

канал в точке  $x=L$  перекрывается ОПЗ (пунктир на рис. 4.23, б).

Физические процессы в перекрытом канале (при  $U_{\text{сп}} \gg U_{\text{спир}}$ ) можно представить следующим образом: по мере увеличения напряжения стока — исток ( $U_{\text{сп}}$ ) ОПЗ заполняет канал по его длине (по оси  $x$  в сторону истока — рис. 4.23, б). Потенциал канала в точке А практически не меняется и равен  $U_{\text{спир}} = U_{\text{отс}} = U_{\text{зи}}$ , т. е. все изменение напряжения  $\Delta U_{\text{сп}} = U_{\text{сп}} - U_{\text{спир}}$  ложится на ОПЗ длиной  $\Delta L$ ; соответственно ток стока остается постоянным и равным  $I_{\text{спир}} = U_{\text{спир}} / r_{\text{кан}}$ . Само перекрытие канала областью пространственного заряда есть следствие увеличения тока стока  $I_{\text{сп}}$ , поэтому вместо отсечки тока происходит отсечение его ограничений (при достижении  $I_{\text{спир}} = M U_{\text{спир}} / r_{\text{кан}} = 0$ ), т. е. ограничение тока стока на уровне  $I_{\text{спир}}$ . Незначительное увеличение тока стока объясняется уменьшением длины канала (до  $L - \Delta L$ ) и соответствующим уменьшением сопротивления канала. Таким образом, в активной (усилительной) рабочей области (при  $U_{\text{сп}} > U_{\text{спир}}$ ) ПТУП по отношению к внешней цепи представляется источником постоянного тока  $I_{\text{спир}}$  и имеет большое выходное сопротивление (аналогично МДП- и биполярному транзисторам в активной области).

Ограничение тока стока дополнительно стимулируется действием отрицательной обратной связи через внутреннее сопротивление истоковой части структуры, не перекрытой затвором, — сопротивление истока  $r_{\text{и}}$  (рис. 4.23, б). Этот эффект оказывается при достаточно больших токах стока и особенно важен в мощных транзисторах. Суть его состоит

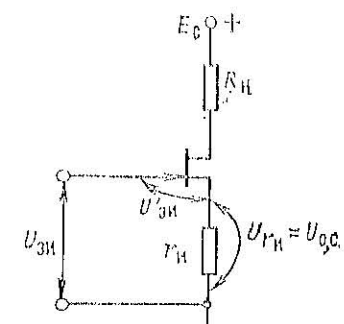


Рис. 4.24. Внутренняя отрицательная обратная связь в ПТУП

в следующем: с ростом напряжения  $U_{\text{СИ}}$  при заданном на-  
прежнем  $U_{\text{ЗИ}}$  увеличивается ток стока  $I_C$ , что приводит в свою очередь к росту падения напряжения на сопротивле-  
нии истока  $r_{\text{II}}$ . Тогда эквивалентное напряжение между затвором и истоком  $U'_{\text{ЗИ}}$  (рис. 4.24)

$$U'_{\text{ЗИ}} = U_{\text{ЗИ}} - U_{\text{о.с}} = U_{\text{ЗИ}} - I_C r_{\text{II}} \quad (4.62a)$$

при этом говорят, что через сопротивление истока возникает отрицательная обратная связь и напряжение  $U_{\text{о.с}}$  — напряжение обратной связи. Итак, увеличение тока стока  $I_C$  с ростом напряжения  $U_{\text{СИ}}$  вызывает пропорциональное возрастание напряжения обратной связи  $U_{\text{о.с}}$ ; в результате ток стока незначительно изменяется с ростом  $U_{\text{СИ}}$ . Из (4.62a) получим для крутизны с учетом отрицательной обратной связи

$$S_{\text{о.с}} = S/(1 - Sr_{\text{II}}) \approx -1/r_{\text{II}}, \quad (4.62b)$$

т. е. крутизна уменьшается с ростом  $r_{\text{II}}$ .

#### 4.5.3. ВОЛЬТ-АМПЕРНЫЕ ХАРАКТЕРИСТИКИ

Семейство выходных ВАХ ПТУП представлено на рис. 4.25. По сравнению с ВАХ МДП-транзистора с индуцированным каналом эти линии ВАХ ПТУП имеют следующие особенности:

1. С ростом напряжения  $U_{\text{СИ}}$  ток стока  $I_C$  уменьшается, а не увеличивается, как в МДП-транзисторе.

2. Канал проводит максимальный ток при  $U_{\text{ЗИ}}=0$  (в МДП-транзисторе при  $U_{\text{ЗИ}}=0$  ток стока практически не протекает).

Выведем уравнение выходной ВАХ для ПТУП. Падение напряжения от постоянного тока стока  $I_C$  на некотором участке  $dx$  в точке  $x$

$$dU = I_C p dx / S, \quad (4.63a)$$

где  $p$  — удельное сопротивление канала;  $S$  — площадь канала в точке  $x$ .

Учитывая (4.61), представляем площадь канала в точке следующим образом:

$$S = ad = ad_0 \left(1 + \sqrt{\frac{U_{\text{ЗИ}} + U(x)}{U_{\text{о.с}}}}\right), \quad (4.63b)$$

где  $a$  — ширина канала.

Далее, подставляя (4.63b) в (4.63a), получаем

$$dU = \frac{I_C p dx}{ad_0} \left(1 + \sqrt{\frac{U_{\text{ЗИ}} + U(x)}{U_{\text{о.с}}}}\right)^{-1}. \quad (4.64)$$

Решая дифференциальное уравнение с разделяющимся переменными (4.64) с граничными условиями

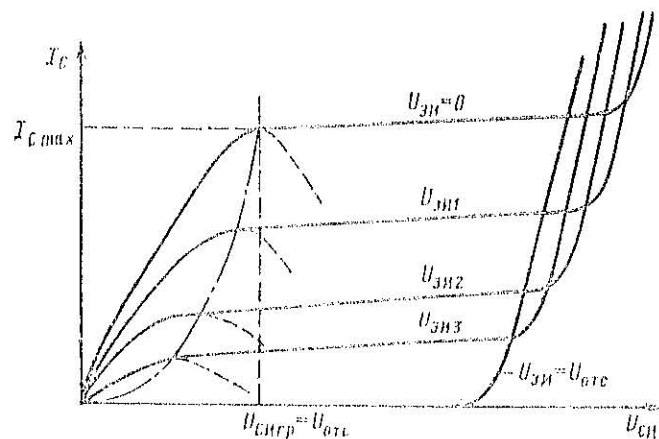
$$U(x=0) = 0; \quad U(x=L) = U_{\text{СИ}},$$

получаем искомую зависимость  $I_C(U_{\text{СИ}})$ :

$$I_C = \left(\frac{pL}{ad_0}\right)^{-1} \left[ U_{\text{СИ}} - \frac{2}{3} \frac{(U_{\text{ЗИ}} + U_{\text{СИ}})^{3/2} - (U_{\text{ЗИ}})^{3/2}}{(U_{\text{о.с}})^{1/2}}\right]. \quad (4.65)$$

Графики семейства выходных ВАХ, построенные по (4.65), показаны на рис. 4.25 пунктиром. Кривые имеют максимум, который можно определить из уравнения ВАХ (4.65) при  $dI_C/dU_{\text{СИ}} = 0$ . В результате получим условие экстремума в виде

$$U_{\text{СИ}}|_{\text{при } dI_C/dU_{\text{СИ}}=0} = U_{\text{СИрп}} = U_{\text{о.с}} - U_{\text{ЗИ}}. \quad (4.65a)$$



где  $r_{\text{кан}} = pL/uL_0$  — минимальное сопротивление канала. Полученное выражение является аппроксимацией формулы (4.65) с точностью не ниже 6 %. Одновременно оно описывает проходную ВАХ ПТУП — зависимость  $I_C = f(U_{\text{ЗИ}})$  для активного режима работы.

Уравнение выходной ВАХ для активного режима принимает другой вид при введении такого параметра, как максимальный ток стока ПТУП  $I_{C\max}$  (значение тока стока при  $U_{\text{ЗИ}}=0$  и  $U_{\text{СИ}} \gg U_{\text{СИр}}$ ):

$$I_C = I_{C\max} (1 - U_{\text{ЗИ}}/U_{\text{отв}})^2, \quad (4.67)$$

где

$$I_{C\max} = I_{\text{Сир}} \text{ при } U_{\text{ЗИ}}=0 = \frac{1}{3} \frac{U_{\text{отв}}}{r_{\text{кан}}}. \quad (4.68)$$

Геометрическое место граничных точек, делящих выходные ВАХ на кругую и пологую части, представляют собой параболу (штрафнутое кривая на рис. 4.26), уравнение которой получается подстановкой условия (4.65а) в (4.67):

$$I_C = I_{C\max} (U_{\text{СИр}}/U_{\text{отв}})^2. \quad (4.69)$$

Рост тока стока  $I_C$  в пологой части ВАХ можно учесть с помощью внутреннего сопротивления  $r_C$  (см. § 4.3.4). Тогда уравнение выходной ВАХ в более точной форме записывается так:

$$I_C = I_{C\max} (1 - U_{\text{ЗИ}}/U_{\text{отв}})^2 + (U_{\text{СИ}} - U_{\text{Сир}})/r_C. \quad (4.70)$$

Таким образом, (4.65) и (4.70) описывают выходные ВАХ ПТУП для кругой и пологой частей характеристики соответственно. Эти выражения могут служить основой статических моделей ПТУП.

В области больших значений напряжения стока  $U_{\text{СИ}}$  ток стока  $I_C$  начинает резко возрастать — ПТУП попадает в режим лавинного пробоя. Лавинное размножение носителей заряда начинается при достижении критического значения напряженности электрического поля в структуре ПТУП. Обычно пробой происходит вблизи стока, где  $p-n$  переход имеет наибольшую кривизну, или в месте выхода  $p-n$  перехода на поверхность.

#### 4.3.4. ПАРАМЕТРЫ И РЕЖИМЫ ЭКСПЛУАТАЦИИ

ПТУП имеют ограниченное применение в ключевом режиме эксплуатации, что связано со следующими свойствами этих приборов:

- 1) большое остаточное напряжение в открытом состоянии;
- 2) трудности согласования транзисторов по напряжению, так как напряжения затвора и стока имеют разную полярность;
- 3) меньшее по сравнению с МДП-транзистором входное сопротивление (не более  $10^4$  Ом, при температуре 100—120 °С входное сопротивление ПТУП снижается до значения  $10^7$  Ом);
- 4) ПТУП имеют меньшее быстродействие по сравнению с МДП-

транзистором, и не допускают изменения полярности напряжения на входе (на затворе), так как при этом открывается управляющий  $p-n$  переход и резко увеличивается мощность в цепи управления.

ПТУП прежде всего используются в усиливальном режиме. Здесь в ряде применений они могут оказаться предпочтительнее МДП-транзисторов. В частности, важными достоинствами ПТУП являются малый уровень собственных шумов и высокая стабильность параметров во времени. Причина этих достоинств состоит в том, что канал в ПТУП отделен от поверхности  $p-n$  переходом. На границе канала с ОПЗ отсутствуют поверхностные дефекты, которые вызывают нестабильность параметров и дополнительные шумы в МДП-транзисторах. Следует подчеркнуть также высокую радиационную стойкость ПТУП.

В аналоговой микросхемотехнике ПТУП часто используют во входных каскадах биполярных ИС, что обусловлено хорошей технологической совместимостью ПТУП и биполярных транзисторов.

В усиливальном режиме ПТУП характеризуют малосигнальными параметрами: круговой  $K$  и внутренним сопротивлением  $r_C$  (см. § 4.4.2). Несмотря на (4.68), справедливое для усиливального режима эксплуатации (пологая часть ВАХ), можно получить по определению крутизны

$$S = \frac{dI_C}{dU_{\text{ЗИ}}} = - \frac{2I_{C\max}}{U_{\text{отв}}} (1 - U_{\text{ЗИ}}/U_{\text{отв}})^{-1} = - \frac{2}{3} r_{\text{кан}} (1 - U_{\text{ЗИ}}/U_{\text{отв}}).$$

Крутизна падает с ростом напряжения на затворе  $U_{\text{ЗИ}}$  и достигает максимального значения при  $U_{\text{ЗИ}}=0$ . Знак минус в выражении показывает, что ток стока  $I_C$  уменьшается при увеличении напряжения  $U_{\text{ЗИ}}$ .

Внутреннее сопротивление  $r_C$  обусловлено модуляцией длины канала и имеет те же значения, что и в МДП-транзисторах (см. § 4.3.3). Инерционность изменений выходного тока  $I_C$ , как и у МДП-транзисторов, количественно описывается постоянной времени кругой  $\tau_{\text{ку}}$  и частотной характеристикой крутизны [см. (4.45)]. Постоянная времени  $\tau_C$  пропорциональна, как и у МДП-транзисторов, квадрату длины канала  $L^2$  [см. (4.46)], длину канала у планарных ПТУП не удается сделать такой же малой, как у МДП-транзисторов. Поэтому быстродействие ПТУП заметно ниже, чем у МДП-транзисторов.

#### 4.6. МОЩНЫЕ ПОЛЕВЫЕ ТРАНЗИСТОРЫ

При переключении больших мощностей в ключевом режиме или при линейном управлении мощного сигнала в усиливальном режиме на передний план среди эксплуатационных параметров полупроводникового прибора выступают энергетические показатели — потери мощности в транзисторе и зависящий от них КПД режима эксплуатации.

В ключевом режиме необходимо стремиться к тому, чтобы сопротивление мощного полевого транзистора в открытом состоянии было минимальным, тогда потери мощности в транзисторе  $P = I_{\text{тока}}^2 R_{\text{канала}}$  также будут минимальными. В усилительном режиме потери мощности в режиме покоя пропорциональны амплитуде выходного сигнала и неизбежны (см. Введение); эти потери и соответственно температура структуры, пропорциональны сопротивлению канала. Кроме того, при большом сопротивлении канала происходит снижение крутизны транзистора как за счет перегрева, так и вследствие возникновения отрицательной обратной связи через сопротивление истока.

Таким образом, главное требование к параметрам мощных полевых транзисторов — это снижение сопротивления канала, что обеспечивается созданием короткого канала. С этой целью в мощных полевых транзисторах переходят от рассмотренных ранее горизонтальных (планарных) структур к вертикальным, в которых направление тока перенаправлено поверхности структуры. Другая особенность мощных полевых транзисторов, позволяющая снизить сопротивление канала, — это большое количество параллельно соединенных каналов (около тысячи), т. е. многоканальность (многоэлементность) структуры.

Необходимость рассекать большие мощности заставляет увеличивать площадь структуры мощного полевого транзистора, что, естественно, приводит к увеличению паразитных емкостей (до 1000 пФ и более). Снижение быстродействия полевого транзистора в силыноточных устройствах происходит не так заметно, так как перезаряд паразитных емкостей при этом обеспечивается через индуктивные винты и резисторы. Тем не менее создание мощного и одновременно быстродействующего (высокочастотного) полевого транзистора — одна из проблем полупроводниковой электроники.

Наибольшее применение в силовой электронике нашли мощные МДП-транзисторы и транзисторы со статической индукцией (СИТ).

#### 4.6.1. МОЩНЫЕ МДП-ТРАНЗИСТОРЫ

##### Основные особенности

Главная особенность мощного МДП-транзистора — это короткий канал, обеспечивающий низкое сопротивление открытого транзистора в ключевом режиме и высокую крутизну в усилительном режиме.

На рис. 4.26, а изображена структура мощного МДП-транзистора, изготовленного методом двойной диффузии, —

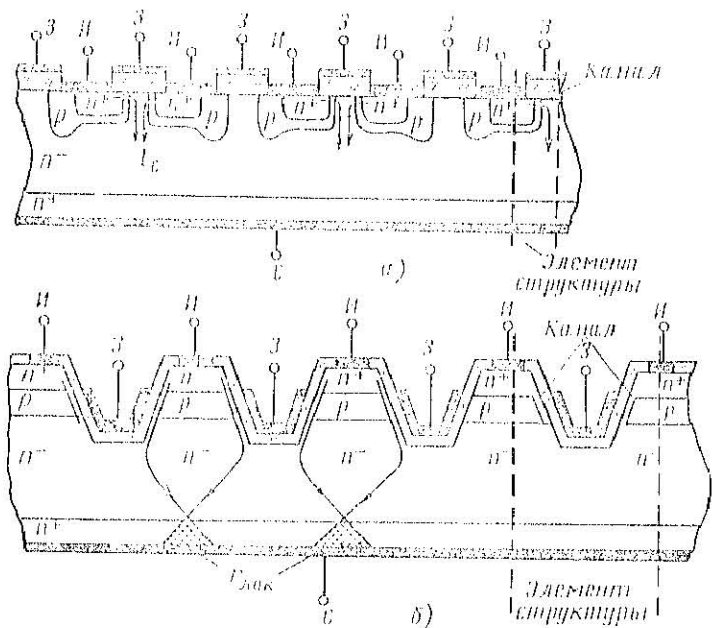


Рис. 4.26. Структуры мощного ДМДП-транзистора (а) и мощного ВМДП-транзистора (б)

ДМДП-транзистор. Малое сопротивление в открытом состоянии обеспечивается, как видно из рисунка, параллельным соединением отдельных структур (многоканальность) и соответственно вертикальным расположением отдельных элементов структуры (вертикальность).

Похожую структуру имеет мощный МДП-транзистор с V-образным затвором (рис. 4.26, б). Отличие заключается

в том, что с помощью такого V-образного затвора элемент структуры прибора (выделен пунктиром) как бы удваивается; это приводит к соответствующему увеличению количества каналов и мощности транзистора.

ДМДП- и УМДП-транзисторы относятся к приборам с индуцированным каналом, принцип действия которых описан в § 4.3.1: в отсутствие напряжения на затворе мощный МДП-транзистор закрыт — это нормально закрытый прибор. Для отпирания мощного МДП-транзистора нужно подать на затвор напряжение соответствующей полярности: положительное для n-канального и отрицательное для p-канального транзистора (см. рис. 4.4).

Выделим элементарные структуры ДМДП- и УМДП-транзисторов (пунктир на рис. 4.26) и познакомим также для сравнения структуру маломощного МДП-транзистора с горизонтальным каналом (см. рис. 4.7). Основные особенности мощных МДП-структур — это сокращение длины канала и появление высокоомной стоковой n-области, через которую проходит дрейф носителей заряда тока стока. Простое сокращение длины канала привело бы к снижению пробивного напряжения между стоком и затвором; введение дополнительной дрейфовой n-области позволяет сохранить значение пробивного напряжения транзистора. Связь между сопротивлением дрейфовой области и пробивным напряжением сток—затвор описывается полуэмпирическим выражением:

$$r_{\text{др}} = kU_{\text{проб}}^m, \quad (4.71)$$

где  $m = 2,2 \div 2,7$  в зависимости от удельного сопротивления исходного кремния.

Из рис. 4.26, б можно выделить составляющие сопротивления мощного МДП-транзистора в открытом состоянии:

$$r_{\text{сп}} = r_{\text{кан}} + r_{\text{др}} + r_{\text{ш}} + r_{\text{ст}} + r_{\text{лок}} + r_n + r_{\text{мет}}, \quad (4.72)$$

где  $r_{\text{кан}}$  — сопротивление канала;  $r_{\text{др}}$  — сопротивление высокоомной стоковой n-области;  $r_{\text{ш}}$  — сопротивление истока и стока;  $r_{\text{лок}}$  — сопротивление, вносимое неравномерным распределением тока стока по структуре;  $r_n$  — сопротивление позитивной области стока;  $r_{\text{мет}}$  — сопротивление металлизации истока и корпуса транзистора.

Наибольший удельный вес имеют обычно сопротивления  $r_{\text{др}}$  и  $r_{\text{кан}}$ , и они увеличиваются в высоковольтных транзисторах соответственно выражению (4.71).

Составляющая  $r_{\text{лок}}$  в (4.72) связана с неравномерным

растеканием тока в многоканальной структуре, при этом вблизи стока появляются области повышенной плотности тока стока (см. рис. 4.26, б), следствием чего является повышение сопротивления открытого транзистора и увеличение плотности мощности потерь.

### Статические характеристики и межэлектродные емкости

Реальные выходные статические ВАХ мощных МДП-транзисторов представлены на рис. 4.27. Рабочая точка в поле выходных ВАХ может находиться в трех областях:

1 — открытое состояние транзистора (крутая часть выходной ВАХ);

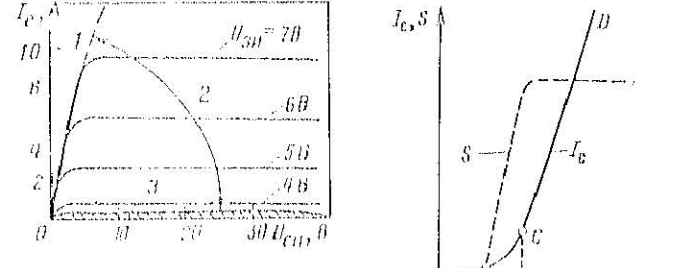
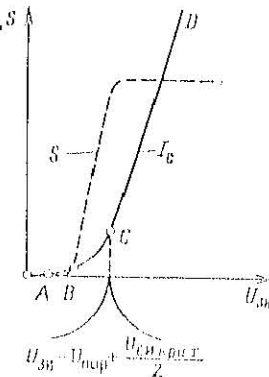


Рис. 4.27. Выходные ВАХ мощного МДП-транзистора

Рис. 4.28. Проходная ВАХ мощного МДП-транзистора



2 — активная область (пологая часть ВАХ);

3 — область отсечки.

Выходные ВАХ мощного МДП-транзистора внешне и по областям работы совпадают с соответствующими ВАХ маломощного МДП-транзистора (см. рис. 4.9). Однако совпадение это чисто качественное, и выходная ВАХ мощного транзистора описывается уравнением, отличающимся от (4.2.1). Это отличие связано прежде всего с тем, что в коротком канале мощного МДП-транзистора быстро (при малых  $U_{\text{ст}}$ ) достигается значение критической напряженности электрического поля и соответственно скорость насыщения носителей заряда в канале транзистора:

$$E_{\text{крит}} = U_{\text{С্�вирн}}/L = 2,5 \cdot 10^4 \text{ В/см}.$$

С точки зрения эксплуатации мощных МДП-транзисторов насыщение скорости носителей проявляется прежде всего в изменении уравнения проходной передаточной ВАХ мощного транзистора; маломощный МДП-транзистор описывается квадратичной проходной характеристикой [см. (4.27)], мощный — линейной:

$$I_G = \frac{b}{2} \left[ U_{\text{3H}} - \left( U_{\text{top}} + \frac{U_{\text{CHIRP}}}{2} \right) \right], \quad (4.73)$$

где  $U_{\text{пор}}$  — пороговое напряжение;  $U_{\text{спикрт}}$  — напряжение на сток — исток, при котором насыщается скорость носителей заряда;  $b$  — удельная крутизна.

Передаточная ВАХ мощного МДП-транзистора соответствует линейному уравнению (4.73) при напряжениях затвор — исток,  $U_{ЗИ} > U_{НОР} + U_{СИКРИ}/2$  — это область  $CD$  на характеристике (рис. 4.28); область  $BC$  описывается квадратичной зависимостью; область  $AB$  — это предпороговая область чрезвычайно малых токов. Крутизна передаточной характеристики в области  $BC$  линейно увеличивается, а в области  $CD$  не зависит от напряжения затвор — исток.

Быстродействие МДП-транзистора определяется его межэлектродными емкостями. Паразитные межэлектродные емкости мощных полевых транзисторов увеличиваются пропорционально мощности транзистора, что связано с ростом геометрических размеров структуры прибора.

В справочных данных для мощных полевых транзисторов приводятся значения следующих межэлектродных ёмкостей:

$C_{111}$  — входная ёмкость — ёмкость между затвором и истоком при коротком замыкании по переменному току на выходе транзистора (между стоком и истоком);

$C_{221}$  — выходная емкость — емкость между стоком и истоком при коротком замыкании на переменному току на входе транзистора (между затвором и истоком);

Сюда приписывается (между затвором и истоком),  
 Сюда — проходная емкость — емкость между затвором  
 и стоком при коротком замыкании по переменному току на  
 выходе.

Важно подчеркнуть, что межэлектродные емкости изменяются в некотором электрическом режиме, параметры которого могут существенно отличаться от режима эксплуатации транзистора в схеме. Типовые параметры измерительного режима межэлектродных емкостей: постоянное напряжение затвор — исток  $U_{ZI} = 0$ ; постоянное напряжение ме-

жку стоком и истоком  $U_{\text{СИ}} = 0,5 U_{\text{СИраб}}$ , но меньше 50 В; частота переменного сигнала 1 мГц.

На рис. 4.29 изображены структуры мониных МДП-транзисторов и выделены структурные составляющие межэлектродных ёмкостей:

$C_{34}$  — емкость затвора — исток (металл — диэлектрик — металл);

Сле — ёмкость затвор — сток (металл—диэлектрик — полупроводник);

$C_{3n^+}$  — емкость затвор- $n^+$ -области, созданная перекрытием истоковой диффузионной  $n^+$ -области металлическим затвором (металл—диэлектрик—полупроводник);

*Сст* — ёмкость сток—исток—барьерная ёмкость стокового р-ра перехода.

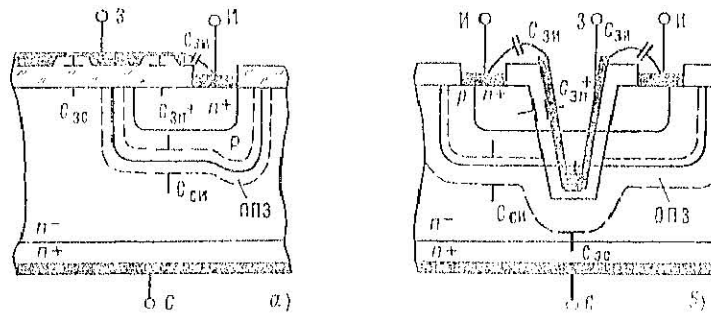


Рис. 4.29. Паразитные симбиоты:  
 $\alpha$  — ДМДП-грифельтор;  $\beta$  — УМДП-грифельтор

Тогда для межэлектродных ёмкостей ДМДП- и УМДП-транзисторов имеем

$$\left. \begin{array}{l} C_{\text{BH}} = C_{\text{3H}} + C_{\text{3C}} + C_{\text{3n}} ; \\ C_{\text{BH}} = C_{\text{3H}} + C_{\text{CH}} \\ C_{\text{BH}} = C_{\text{3C}} \end{array} \right\} \quad (4.74)$$

При количественной оценке влияния емкостей  $C_{\text{ши}}$ ,  $C_{\text{ди}}$ ,  $C_{\text{ши}}$  на быстродействие МДП-транзистора в реальных режимах эксплуатации необходимо учитывать следующее:

1) увеличение входной ёмкости МДП-транзистора вслед-

ствие эффекта Миллера в активной рабочей области транзистора (см. Введение);

2) зависимость межэлектродных емкостей от напряжения. Можно предвидеть, в частности, что вследствие обратно пропорциональной зависимости между барьерной емкостью и напряжением на  $p-n$  переходе эксплуатация МДП-транзистора при повышенном напряжении сток—исток обеспечивает повышение быстродействия из-за снижения значения емкостей  $C_{\text{Si}}$  и  $C_{\text{зс}}$ .

#### 4.6.2. ФИЗИЧЕСКИЕ ОСНОВЫ ЭКСПЛУАТАЦИИ МОЩНЫХ МДП-ТРАНЗИСТОРОВ В КЛЮЧЕВОМ РЕЖИМЕ

##### Потери мощности и быстродействие

Основные эксплуатационные показатели мощного МДП-транзистора в ключевом режиме — это потери мощности в транзисторе, быстродействие и надежность. Кроме того,

важно оценить возможности непосредственного управления от интегральных микросхем (ИС), или, другими словами, совместимость мощных МДП-транзисторов с цифровыми ИС.

Потери мощности в ключе на МДП-транзисторе определяются прежде всего потерями в открытом состоянии транзистора  $P = I_c^2 r_{\text{снн}}$ . Значение выходного тока  $I_c$  задается внешней нагрузкой, и для снижения мощности потерь  $P$  необходимо обеспечить минимальное значение сопротивления открытого транзистора  $r_{\text{снн}}$ . При увеличении напряжения затвор—исток растет заряд затвора и уменьшается сопротивление

канала МДП-транзистора, а значит, и полное сопротивление открытого транзистора [см. (4.72)]. Очевидно, что влияние управляющего напряжения  $U_{\text{зи}}$  на сопротивление открытого транзистора имеет предел, так как

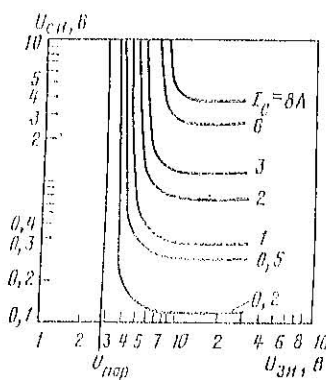


Рис. 4.30. Зависимость падения напряжения на открытом МДП-транзисторе от напряжения затвор—исток

оно воздействует только на одну составляющую — на сопротивление канала —  $r_{\text{кан}}$ ; другие составляющие  $r_{\text{др}}$ ,  $r_{\text{мет}}$  от  $U_{\text{зи}}$  практически не зависят и определяют минимально достижимое сопротивление открытого транзистора:  $r_{\text{снн}} \approx r_{\text{кан}} + r_{\text{др}} + r_{\text{мет}}$ . Изложенное наглядно иллюстрирует зависимости  $U_{\text{зи}} = f(U_{\text{зин}})$ , снятые при различных токах стока  $I_c$  мощного МДП-транзистора (рис. 4.30): падение напряжения  $U_{\text{зи}}$  на открытом транзисторе, а значит, и сопротивление  $r_{\text{снн}}$  снижаются с ростом напряжения

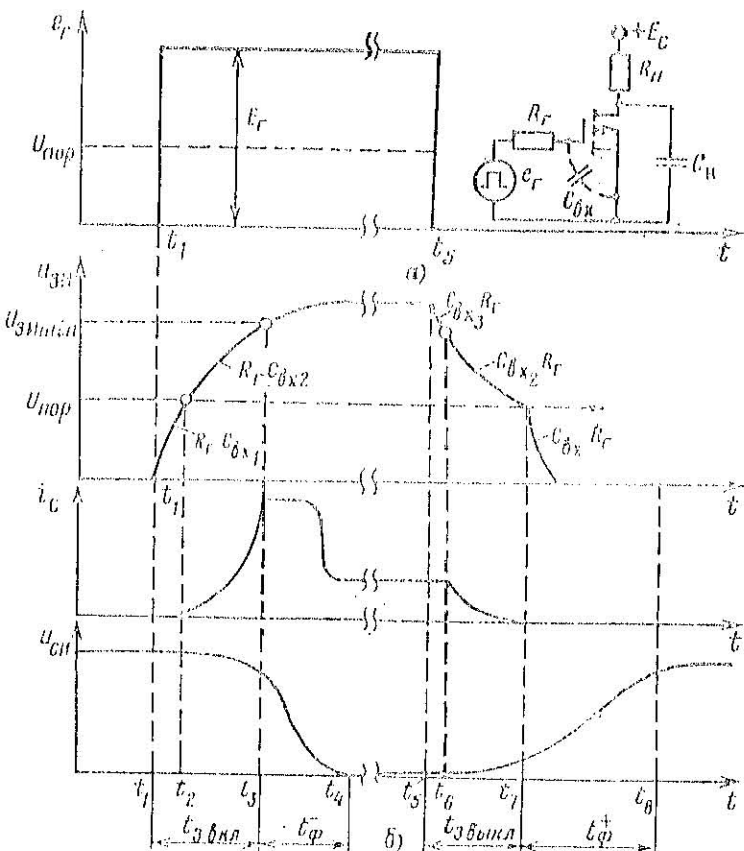


Рис. 4.31. Мощный МДП-транзистор в ключевом режиме:  
а — схема включения; б — диаграммы работы

$U_{\text{зи}}$ , однако это влияние имеет место только до значения  $U_{\text{зи}}=12$  В.

Быстродействие мощного МДП-транзистора, имеющего большую емкость затвора, в значительной степени определяется длительностью перезаряда входной емкости транзистора. Энергия импульса управления, необходимая для заряда входной емкости,  $\omega_{\text{уп}}=(U_{\text{зи}}^2/2)C_{\text{вх}}$ , где  $U_{\text{зи}}$  — амплитуда управляющего напряжения затвор—исток, обеспечивающая  $r_{\text{t,lim}}$  (выбрасывается, например, по характеристикам на рис. 4.30).

Рассмотрим переходные процессы в мощном МДП-транзисторе по схеме с общим истоком (рис. 4.31, а). Пусть в момент времени  $t_1$  подается скачок управляющего напряжения  $e_r$  с амплитудой  $E_r$  (рис. 4.31, б). Напряжение затвор—исток  $U_{\text{зи}}$  при этом изменяется по мере заряда входной емкости МДП-транзистора. На интервале  $t_1-t_2$  напряжение  $U_{\text{зи}} < U_{\text{пор}}$ , транзистор находится в области отсечки и входная емкость  $C_{\text{вх1}}=C_{\text{ши}}$ . В момент  $t_2$  напряжение затвор—исток достигает значения  $U_{\text{пор}}$  и МДП-транзистор переходит в активную (усилительную) область, начинает действовать эффект Миллера и входная емкость определяется выражением (см. Введение)

$$C_{\text{вх2}} = C_{\text{зи}} + C_{\text{зс}}(1 + SR_u), \quad (4.75)$$

Например, при  $C_{\text{зи}}=645$  пФ,  $C_{\text{зс}}=25$  пФ,  $S=250$  мСм,  $R_u=200$  Ом получим  $C_{\text{вх2}}=1895$  пФ.

Эффект Миллера исчезает, когда транзистор полностью открывается, т. е. сопротивление открытого транзистора достигает своего минимального значения, задаваемого напряжением затвор—исток (момент времени  $t_3$  на рис. 4.31, б). Итак, процесс установления сопротивления открытого транзистора определяется зарядом входной емкости — это время задержки включения транзистора  $t_{\text{з,вкл}}$  (рис. 4.31, б), которое оценивается по формуле

$$t_{\text{з,вкл}} = R_r \left( C_{\text{вх1}} \ln \frac{E_r}{E_r - U_{\text{пор}}} + C_{\text{вх2}} \ln \frac{E_r - U_{\text{пор}}}{E_r - U_{\text{з,lim}}} \right), \quad (4.76)$$

где  $R_r$  — внутреннее сопротивление источника управляющего напряжения, например выходное сопротивление цифровой ИС;  $E_r$  — амплитуда управляющей ЭДС;  $U_{\text{з,lim}}$  — напряжение затвор—исток, при котором сопротивление открытого транзистора минимально, а ток стока  $i_s$  максимален (рис. 4.31, б).

Пусть  $E_r=10$  В;  $R_r=10$  кОм;  $U_{\text{пор}}=3,8$  В;  $C_{\text{зи}}=645$  пФ;

$C_{\text{зс}}=25$  пФ;  $S=250$  мСм;  $R_u=200$  Ом, тогда расчет по (4.76) дает для задержки включения значение 10 мкс. При уменьшении сопротивления  $R_r$  пропорционально будет уменьшаться время задержки включения и расти амплитуда тока заряда входной емкости (выходной ток управляющей МДП-транзистором интегральной микросхемы).

При выключении МДП-транзистора имеем задержку выключения, определяемую переходным процессом разряда входной емкости. Длительность этого процесса складывается из следующих этапов: во-первых, этапа разряда входной емкости  $C_{\text{вх1}}$  от напряжения  $E_r$  до напряжения  $U_{\text{зи,lim}}$ , при котором транзистор переходит в активную область (на этом этапе переходного процесса транзистор открыт, интервал времени  $t_4-t_5$  на рис. 4.31, б); во-вторых, этапа разряда входной емкости  $C_{\text{вх2}}$  в активной области, когда действует эффект Миллера (интервал времени  $t_6-t_7$  на рис. 4.31, б). В момент времени  $t_7$  напряжение  $U_{\text{зи}}$  достигает значения  $U_{\text{пор}}$  и ток стока садится до нуля. Длительность задержки выключения МДП-транзистора оценивается выражением

$$t_{\text{з,вкл}} = R_r \left( C_{\text{вх1}} \ln \frac{E_r}{E_r - U_{\text{з,lim}}} + C_{\text{вх2}} \ln \frac{U_{\text{з,lim}}}{U_{\text{пор}}} \right), \quad (4.77)$$

Процессы формирования фронтов выходного напряжения  $t_{\phi}^+$  и  $t_{\phi}^-$  определяются перезарядом емкости нагрузки и практически не отличаются от рассмотренных в § 4.4.3.

### Совместность мощных МДП-транзисторов с интегральными микросхемами

Важное достоинство мощных МДП-транзисторов — возможность непосредственного управления от ИС. Рассмотрим построение цепи управления мощным МДП-транзистором с цифровыми ИМС на коммутационных полевых транзисторах (КМДП ИС) и на биполярных транзисторах (ТТЛ ИС). С точки зрения управления мощными МДП-транзисторами среди параметров цифровых ИМС важны параметры нагрузочной способности: выходное напряжение  $U_{\text{вых}}$  и выходной ток  $I_{\text{вых}}$ . Для КМДП ИС  $U_{\text{вых}}=15$  В,  $I_{\text{вых}}=1-5$  мА; для ТТЛ ИС  $U_{\text{вых}}=5$  В;  $I_{\text{вых}}=5-30$  мА.

Рассмотрим две схемы включения мощного МДП-транзистора в ключевом режиме: схему с общим истоком, когда нагрузка не заземлена и напряжение между затвором и истоком равно выходному напряжению управляющей ИМС

(рис. 4.32, а); схему с общим стоком (истоковый повторитель), когда нагрузка соединена с общей точкой схемы (заземленная нагрузка), а напряжение  $U_{ЗИ}$  меньше выходного напряжения управляющей ИМС на величину падения напряжения на нагрузке ( $U_{ЗИ} = U_{вых} - U_{R_H}$ ) (рис. 4.32, б).

Сначала определим особенности построения цепи управления мощным МДП-транзистором с общим истоком при управлении от ИС, когда требования к быстродействию ключа относительно низкие. В этом случае основная задача

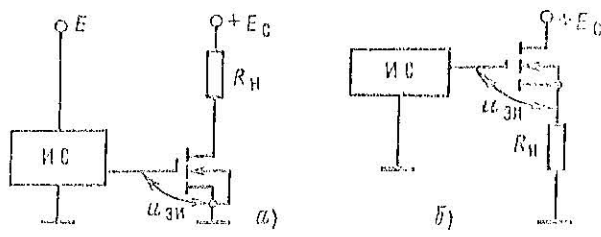


Рис. 4.32. Мощный МДП-транзистор в ключевом режиме по схеме с общим истоком (а) и с общим стоком (б)

управляющей ИС — формирование выходного напряжения с амплитудой  $U_{вых} \geq 15$  В, обеспечивающей минимальное сопротивление открытого МДП-транзистора. Очевидно, что для КМОП ИС указанное требование к амплитуде  $U_{вых}$  выполняется при непосредственной связи между ИС и мощным МДП-транзистором. При управлении от ТТЛ ИС необходимо повысить амплитуду выходного напряжения, что обычно достигается применением ТТЛ ИС с открытым коллектором с питающим напряжением не менее 15 В.

Если же основное требование к ключу на мощном МДП-транзисторе — максимальное быстродействие, то необходимость повышения скорости перезаряда входной емкости транзистора усложняет цепь управления. Это усложнение обычно сводится к постановке между ИС и входом транзистора дополнительных эмиттерных повторителей, которые усиливают выходной ток ИМС и ускоряют перезаряд входной емкости МДП-транзистора. Усиление выходного тока происходит через эмиттерный повторитель на транзисторе

$VT_1$ , а разрял — через эмиттерный повторитель на  $VT_2$ . Усиление выходного тока ТТЛ ИС с помощью внешнего эмиттерного повторителя иллюстрирует рис. 4.36, б. Когда на выходе ТТЛ ИС низкое напряжение (выходной транзистор ИС  $VT$  открыт), транзистор  $VT_1$  эмиттерного повторителя закрыт — входная емкость МДП-транзистора быстро разряжается через диод  $VD$  и транзистор  $VT$ . При запирании транзистора  $VT$  входная емкость форсировано заряжается большим эмиттерным током открытого транзистора  $VT_1$ .

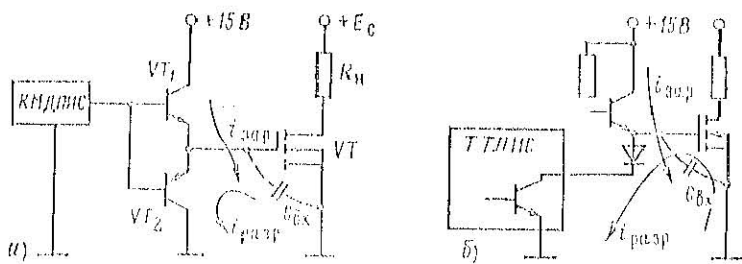


Рис. 4.33. Управление мощным МДП-транзистором через внешний эмиттерный повторитель от КМОП ИС (а) и от ТТЛ ИС (б)

При управлении мощным МДП-транзистором, включенным по схеме с общим стоком, в первом положении напряжения затвор—исток транзистор форсированной емкостью цепи. Принцип действия такой форсированной цепи рассмотрим на примере рис. 4.34: пусть на выходе ИМС низкий уровень выходного напряжения, мощный МДП-транзистор закрыт, конденсатор  $C_{ФФ}$  заряжен до напряжения питания  $E$ . Резистор  $R$  ограничивает ток, потребляемый на выходе ИС от источника питания  $E$ . Когда выходное напряжение ИС возрастает, мощный МДП-транзистор открывается и между истоком и затвором прикладывается напряжение конденсатора  $U_C = E$ ; в результате включение транзистора обеспечивается высоким напряжением  $E$  и сопротивление открытого мощного МДП-транзистора быстро снижается до минимального значения. Циклическость поддержания форсированного напряжения определяется сопротивлением закрытого диода  $VD$ , через который разряжается форсированный конденсатор  $C_{ФФ}$  во время открытого состояния МДП-

транзистора. Минимальное значение емкости ферропроводящего конденсатора  $C_{\text{фор}} \geq 10 C_{\text{ин}}$ .

Быстро действующие ключи на мощных МДП-транзисторах предъявляют повышенные требования к монтажу цепи управления; в частности, необходимо снизить до минимума индуктивность цепи управления (рис. 4.35). Например, соединительный проводник длиной всего 10 мм между затвором и выходом ИС составляет с входной емкостью МДП-транзистора паразитный колебательный контур с собственным периодом колебаний  $2\pi\sqrt{L_m C_{\text{вх}}} \approx 1 \text{ нС}$ ; такой контур

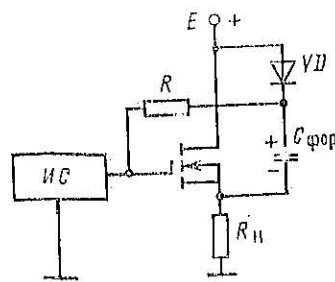


Рис. 4.34. Построение ферропроводящей цепи управления мощным МДП-транзистором в схеме с общим стоком

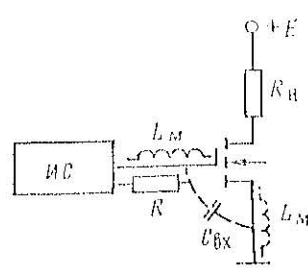


Рис. 4.35. Параллельные элементы в цепи управления мощного МДП-транзистором ( $L_m$  — монтажная индуктивность)

резко снижает помехоустойчивость мощного МДП-транзистора. Для снижения добротности паразитного колебательного контура в цепь затвора вводят последовательно резистор  $R \geq 100 \Omega$  или на вывод затвора (ближе к корпусу МДП-транзистора) надевают экранирующую ферритовую бусинку; можно в таких случаях использовать МДП-транзистор с кремниевым затвором, который имеет собственное сопротивление.

Если МДП-транзистор эксплуатируют в ключевом режиме при высоком уровне внешних импульсных помех (например, при управлении электродвигателем), то следует применять высоконапорговые МДП-транзисторы с  $U_{\text{пор}} \geq 4 \div 6 \text{ В}$ .

#### 4.6.3. ТРАНЗИСТОРЫ СО СТАТИЧЕСКОЙ ИНДУКЦИЕЙ

Типичная структура мощного полевого транзистора с управляющим  $p-n$  переходом изображена на рис. 4.36, а. Полевой транзистор на основе такой структуры получил особое название — транзистор со статической индукцией (СИТ). Этот прибор обладает выходными ВАХ, отличающимися от выходных ВАХ, рассмотренных ранее транзисторов (см. рис. 2.22, 4.9, 4.25). Бипо-

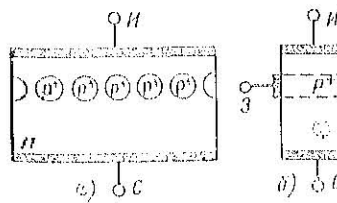
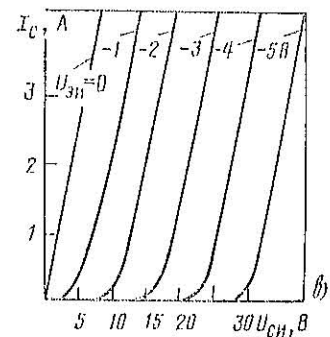


Рис. 4.36. Структура СИТ (a), вид структуры сбоку (b), выходные ВАХ (в)



лярный транзистор, МДП-транзистор, ПТУП с горизонтальным каналом имели в активной области пологую ВАХ, т. е. транзистор в усиленном режиме по отношению к внешней цепи представлялся источником тока и плохо согласовывался энергетически с мощной низкоомной нагрузкой (выходное сопротивление таких транзисторов много больше сопротивления нагрузки, например сопротивления громкоговорителя в усилителе звуковой частоты). Выходная ВАХ СИТ не имеет области насыщения тока стока, т. е. выходное сопротивление СИТ достаточно мало, что значительно повышает энергетические показатели линейных усилителей мощности на основе СИТ.

Структура СИТ характеризуется очень коротким каналом и малым расстоянием от истока до затвора (около 10 мкм); повышение мощности СИТ обеспечивается многоканальным строением структуры, малыми размерами областей затвора, близкими по форме к цилиндуру (диаметр около 25 мкм).

Рассмотрим коротко, каким образом достигается глав-

ная отличительная особенность СИТ — выходная ВАХ без насыщения тока стока (без пологой области). Если напряжение на затворе отсутствует, то сопротивление канала минимально (СИТ нормально открытый транзистор) и с ростом напряжения  $U_{\text{ст}}$  ток стока увеличивается, но ограничения  $I_C$  не наступает. Количественные параметры структуры — малый затвор, короткий канал — приводят

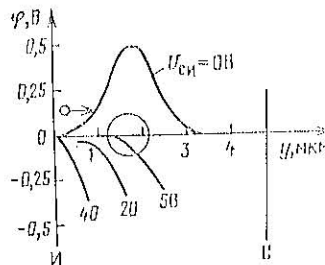
к качественному изменению физических процессов в канале СИТ по сравнению с ПТУП с горизонтальным каналом, фактически в СИТ влияние напряжения стока на канал противоположно этому влиянию в ПТУП: с ростом  $U_{\text{ст}}$  напряженность тормозящего поля у истока уменьшается, соответственно снижается потенциальный барьер  $\Delta\varphi$  для электронов в канале. Поток электронов, способных преодолеть потенциальный барьер  $\Delta\varphi$ , увеличивается, в результате ток стока  $I_C$  растет с ростом напряжения  $U_{\text{ст}}$ . Распределение электростатического потенциала  $\varphi$  вдоль оси канала СИТ

Рис. 4.37. Распределение электростатического потенциала  $\varphi$  вдоль оси канала СИТ

стока  $I_C$  растет с ростом напряжения  $U_{\text{ст}}$ . Распределение электростатического потенциала  $\Delta\varphi$  вдоль канала показано на рис. 4.37: потенциальный барьер  $\Delta\varphi$  высок при  $U_{\text{ст}} = 0$ , по мере увеличения этого напряжения он снижается и падает до нуля при  $U_{\text{ст}} = 5$  В. Чем больше напряжение затвора  $U_{\text{зи}}$ , тем больше напряжение  $U_{\text{ст}}$ , необходимое для компенсации его запирающего действия, и выходные ВАХ СИТ с ростом  $U_{\text{зи}}$  сдвигаются вправо. При полном исчезновении  $\Delta\varphi$  ток стока определяется сопротивлением канала и растет пропорционально напряжению  $U_{\text{ст}}$ .

В СИТ относительно увеличивается влияние отрицательной обратной связи через сопротивление истока  $r_{\text{II}}$  (см. § 4.3.2), так как сопротивление короткого канала мало. При больших токах стока обратная связь может привести к насыщению тока и ограничению крутизны до значения  $S \approx 1/r_{\text{II}}$  [см. (4.62)]. В структуре СИТ приняты специальные меры для снижения сопротивления  $r_{\text{II}}$ : малое расстояние затвор — исток, пониженное сопротивление  $n$ -области истока.

Выходные ВАХ СИТ при малых токах стока в первом приближении описываются экспонентой



$$I_C = I_0 \exp \left[ -\eta \frac{(U_{\text{зи}} - U_{\text{ст}}/\mu^*)}{\varphi_t} \right], \quad (4.78)$$

где  $\mu^* = \partial U_{\text{ст}} / \partial U_{\text{зи}}$  (при  $I_C = \text{const}$ ) — коэффициент усиления транзистора;  $I_0$  — постоянная, имеющая размерность тока и зависящая от параметров структуры;  $\eta$  — коэффициент, зависящий от параметров канала;  $\varphi_t$  — тепловой потенциал.

При больших токах стока потенциальный барьер снижается и выходные ВАХ СИТ отклоняются от экспоненциальной зависимости, приближаясь к линейной вследствие влияния отрицательной обратной связи через  $r_{\text{II}}$ :

$$I_C = \frac{1}{r_{\text{II}}} (U_{\text{зи}} - U_{\text{ст}}/\mu^*). \quad (4.79)$$

Следует подчеркнуть, что в обоих выражениях для выходной ВАХ СИТ напряжение стока вычитается из напряжения затвора [ср. с (4.60)].

Температурный коэффициент тока стока СИТ зависит от плотности тока: в области малых плотностей тока он положителен из-за определяющего действия потенциального барьера затвора; ТК  $I_C$  становится отрицательным в области линейных выходных ВАХ, когда определяющее влияние на  $I_C$  оказывает сопротивление канала (с ростом  $T$  подвижность носителей заряда уменьшается, сопротивление канала увеличивается и ток  $I_C$  падает).

#### 4.6.4. ФИЗИЧЕСКИЕ ОСНОВЫ ЭКСПЛУАТАЦИИ МОЩНЫХ ПОЛЕВЫХ ТРАНЗИСТОРОВ В УСИЛИТЕЛЬНОМ РЕЖИМЕ

Применение мощных полевых транзисторов в выходных каскадах усилителей звуковой частоты (усилителях мощности) имеет ряд преимуществ перед использованием для тех же целей мощных биполярных транзисторов.

1. Простота управления, так как для управления мощным полевым транзистором требуется ничтожный по мощности сигнал (в частности, как предварительный усилитель можно использовать операционный усилитель).

2. Высокая линейность передаточных характеристик полевых транзисторов, что позволяет существенно снизить уровень нелинейных искажений.

3. Крутизна мощных полевых транзисторов — основной параметр усиленного режима эксплуатации, которая практически не зависит от мощности выходного сигнала,

в то время как у биполярных транзисторов коэффициент передачи тока уменьшается с ростом выходного тока (см. рис. 2.18).

В усилительном режиме используют мощные МДП-транзисторы и транзисторы со статической индукцией. По сравнению с СИТ мощные МДП-транзисторы имеют меньшее значение входной емкости (с учетом эффекта Миллера — см. Введение), что позволяет расширить диапазон рабочих частот до 1000 кГц у МДП-транзисторов (для СИТ верхняя граница частотного диапазона составляет 100 кГц).

МДП-транзистор — нормально закрытый прибор, что в усилительном режиме эксплуатации обеспечивает повышенную надежность работы по сравнению с нормально открытым СИТ. Например, если в двухтактном усилителе мощности (см. Введение), построенном на комплементарной паре СИТ (два СИТ с *n*- и *p*-каналами), проходит запирающее напряжение на одном из СИТ комплементарной пары, то источник питания оказывается замкнутым «накоротко» через два открытых СИТ.

Современные мощные МДП-транзисторы позволяют получить меньший уровень потерь мощности в транзисторе в усилительном режиме, чем СИТ. Причиной этого является меньшее значение сопротивления открытого МДП-транзистора (0,1 Ом и менее) по сравнению с СИТ (0,5 Ом и более). В итоге при прочих равных условиях рабочие температуры СИТ оказываются выше.

Мощные МДП-транзисторы имеют серьезный недостаток, затрудняющий их эксплуатацию в широком диапазоне рабочих температур (до 80—100 °C и выше). Дело в том, что пороговое напряжение МДП-транзистора зависит от температуры:

$$U_{\text{пор}}(T) = U_{\text{пор}}(20^{\circ}\text{C}) - \text{TK} U_{\text{пор}} \Delta T, \quad (4.80)$$

где ТК  $U_{\text{пор}}$  — температурный коэффициент порогового напряжения, равный  $-5 \pm -10 \text{ мВ/}^{\circ}\text{C}$ .

Поэтому поддержание стабильного напряжения смещения на затворах МДП-транзисторов в двухтактных экономичных усилительных режимах в широком температурном диапазоне — сложная техническая задача. При сплошном увеличении температуры МДП-транзистор превращается в прибор со встроенным каналом, что в двухтактных усилительных режимах приводит к выходу из строя одного или обоих транзисторов комплементарной пары (аналогично СИТ при срыве запирающего напряжения).

Важнейшие преимущества СИТ с точки зрения их применения в усилительном режиме эксплуатации определяются параметрами выходных ВАХ:

выходное сопротивление СИТ много меньше выходного сопротивления МДП-транзистора, что обеспечивает хорошее согласование СИТ с пикоомной нагрузкой и повышает общий КПД усилителя мощности;

динамический диапазон усиления СИТ шире, что приводит к снижению нелинейных искажений, вносимых нечетными гармониками высокого порядка в двухтактных усилительных режимах.

В двухтактных усилительных режимах необходимо применять согласованные по параметрам комплементарные пары полевых транзисторов (*p*-канальный и *n*-канальный). Практически такая пара должна иметь одинаковые передаточные характеристики (в частности, для СИТ должны совпадать крутизна  $S$ , напряжение отсечки  $U_{\text{отс}}$  и ток стока при нулевом напряжении на затворе). Однако полное совпадение статических и динамических параметров транзисторов комплементарной пары недостижимо, так как подвижности носителей заряда в *p*-канале и *n*-канале отличаются (для дырок примерно на 30 % ниже); в результате входная емкость *p*-канального транзистора обычно больше. При этом появляются дополнительные частотные искажения или требуется выравнивать скорости изменения напряжений на входных емкостях с помощью коррекции управляющих сигналов. Чтобы избежать перечисленных трудностей, применяются так называемые квазикомплементарные пары, построенные только на *n*-канальных транзисторах.

Надежность работы мощного полевого транзистора в усилительном режиме непосредственно связана с областью безопасной работы (ОБР) транзистора (рис. 4.38).

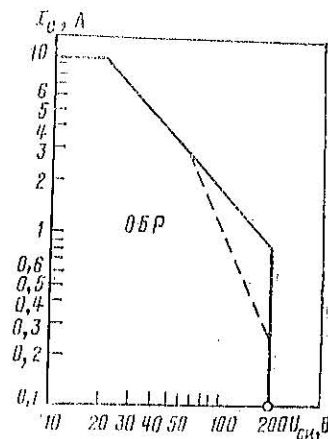


Рис. 4.38. Область безопасной работы мощного полевого транзистора

(см. Введение). На осях графика ОБР отложены значения выходных величин — тока стока  $I_C$  и напряжения сток—исток  $U_{CS}$ . Ток стока ограничен наклонной линией рассеивания ток  $I_C$  и максимальной допустимой мощности (ток стока равен максимальной допустимой мощности рассеивания, деленной на напряжение сток—исток) и максимальной допустимой температурой структуры. Наклон графика, ограничивающего ОБР полевых транзисторов, во всем интервале рабочих токов и напряжений один и тот же в отличие от графика ОБР биполярных транзисторов — показан пунктиром (наклон увеличивается при наступлении вторичного пробоя, ОБР сужается).

#### 4.6.5. СРАВНЕНИЕ МДП- И БИПОЛЯРНОГО ТРАНЗИСТОРОВ

МДП-транзисторы и биполярные транзисторы выполняют одинаковые функции: работают в схеме или в качестве линейного усилителя, или в качестве ключа. Ниже приводится краткое обобщающее сравнение этих двух типов транзисторов, при этом сначала выделяются основные физические свойства транзисторов, а затем определяются особенности эксплуатации транзисторов, прежде всего мощных, обусловленные этими свойствами.

#### Биполярные транзисторы

#### МДП-транзисторы

#### Физические свойства

Управляемый физический процесс — инжекция носителей: изменяется ток управления — изменяется поток инжектированных носителей заряда, что приводит к изменению выходного тока

Выходной ток обеспечивается носителями обоих знаков (дырками и электронами)

Управляемый физический процесс — эффект поля, вызывающий изменение концентрации носителей заряда в канале; изменяется управляемое напряжение — изменяется проводимость канала, что приводит к изменению выходного тока

Выходной ток обеспечивается основными носителями одного знака (или дырками, или электронами)

#### Особенности эксплуатации

Прибор управляется током, так как на входе имеется прямосмещенный р-п переход и входное сопротивление мало

При управлении от ИС требуется дополнительное усиление тока

Относительно небольшой коэффициент усиления по току

Необходимость специальных мер по повышению помехоустойчивости

Прибор управляется напряжением, входное сопротивление очень большое, так как входная цепь от выходной изолирована диэлектриком

Возможно непосредственное управление от ИС

Очень большой коэффициент усиления по току

Высокая помехоустойчивость

#### Физические свойства

Низкая теплостойкость: с увеличением тока растет температура структуры, что приводит к большему увеличению тока

Высокая теплостойкость: рост температуры структуры приводит к увеличению сопротивления канала, и ток уменьшается

#### Особенности

Высокая вероятность саморазогрева и вторичного пробоя; сужение области безопасной работы (ОБР)

Высокая чувствительность к токовым перегрузкам

Необходимость выравнивания токов в параллельном соединении приборов

Низкая вероятность теплового саморазогрева и вторичного пробоя — расширение ОБР

Низкая чувствительность к токовым перегрузкам

Равномерное распределение тока в параллельном соединении приборов

Проведенное сравнение показывает, что в дискретных электронных устройствах МДП-транзисторы в ряде применений предпочтительнее биполярных. Во-первых, управляющая цепь полевых транзисторов потребляет ничтожную

энергию, так как входное сопротивление этих приборов велико (до  $10^{17}$  Ом). Как правило, усиление мощности и тока в МДП-транзисторах много больше, чем в биполярных. Во-вторых, вследствие того что управляющая цепь изолирована от выходной цепи, значительно повышается надежность работы и помехоустойчивость схем на МДП-транзисторах. В-третьих, МДП-транзисторы имеют низкий уровень собственных шумов, что связано с отсутствием инжекции и собственных ей флюктуаций. Наконец, в-четвертых, полевые транзисторы, вообще говоря, обладают более высоким собственным быстродействием, так как в них нет инерционных процессов накопления и рассасывания носителей заряда. В результате мощные МДП-транзисторы все больше вытесняют биполярные транзисторы там, где требуется высокое быстродействие и повышенная надежность работы.

Однако МДП-транзисторы имеют и недостатки. Во-первых, вследствие относительно высокого сопротивления канала в открытом состоянии падение напряжения на открытом МДП-транзисторе заметно больше, чем падение напряжения на насыщенному биполярном транзисторе. Этот недостаток усугубляется еще и тем, что температурная зависимость сопротивления канала сильнее, чем зависимость от температуры напряжения насыщения биполярного транзистора (сопротивление канала открытого МДП-транзистора в диапазоне температур 25–150 °C увеличивается в 2 раза, а напряжение насыщения биполярного транзистора — примерно в 1,5 раза). Во-вторых, МДП-транзисторы имеют существенно меньшее значение предельной температуры структуры  $T_{j\max}$ , равное 150 °C (для кремниевых биполярных транзисторов  $T_{j\max} = 200$  °C). Этот факт ограничивает применение МДП-транзисторов в режимах эксплуатации с повышенной температурой окружающей среды (около 100 °C), в частности, в автомобильных двигателях, металлургии и т. д.

## 4.7. ПОЛЕВЫЕ ПРИБОРЫ С ЗАРЯДОВОЙ СВЯЗЬЮ

### 4.7.1. ОБЛАСТИ ПРИМЕНЕНИЯ

Прибор с зарядовой связью (ПЗС) представляет собой МДП-структуру с большим количеством управляющих электродов — затворов (рис. 4.39). Главная особенность ПЗС состоит в том, что он хранит и передает информацию в виде количества заряда — «зарядовых пакетов», которые состо-

ят из подвижных носителей заряда (дырок или электронов). В простейших случаях применимости ПЗС такой информационный зарядовый пакет вводится через входной электрод и затем постепенно с помощью управляющих напряжений передается от затвора к затвору. На выходном электроде ПЗС информация оказывается задержанной по отношению к входному сигналу, т. е. ПЗС выполняет функцию элемента задержки.

Возможен также параллельный ввод информации, когда зарядовые пакеты поступают одновременно на все за-

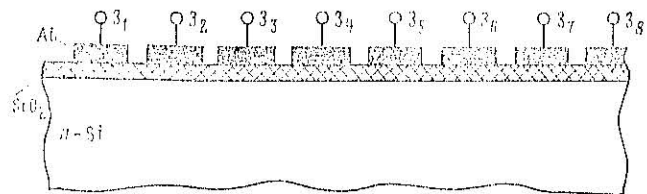


Рис. 4.39. Структура прибора с зарядовой связью

твоя ПЗС. Затем записанная в виде зарядовых пакетов информация последовательно выводится из ПЗС, т. е. записанная информация «развертывается» во времени.

По выполняемым функциям современные ПЗС можно разделить на три класса:

1) ПЗС для обработки и преобразования аналоговых сигналов;

2) ПЗС для приема и преобразования изображений — фото-ПЗС;

3) ПЗС для запоминающих устройств.

В качестве устройств, использующих ПЗС для обработки аналоговых сигналов, можно выделить:

линии задержки (входной аналоговый сигнал преобразуется в дискретные зарядовые пакеты и через время задержки поступает на выход ПЗС);

мультиплексоры (несколько входных сигналов параллельно вводятся в ПЗС, а затем последовательно выводятся на выход ПЗС);

фильтры и другие устройства.

Фото-ПЗС воспринимают информацию об изображении параллельно, а затем преобразуют ее в так называемый ви-

деосигнал. Запоминающие устройства на ПЗС прежде всего выделяются своей низкой стоимостью.

Низкая стоимость изготовления — вообще основное преимущество ПЗС по сравнению с другими классами цифровых устройств. Кроме того, ПЗС отличают малые массы и габариты, низкая потребляемая мощность, повышенная надежность.

#### 4.7.2. РЕЖИМЫ РАБОТЫ МДП-СТРУКТУРЫ В ПЗС

МДП-структура, как отмечалось, может работать в трех режимах — обеднения, обогащения и инверсии проводимости канала. В ПЗС основной рабочий режим МДП-структур — это режим обеднения. Выбор режима обеднения обусловлен тем, что носителем информации в ПЗС является «зарядовый пакет» дырок или электронов. Очевидно, что чем меньше концентрация подвижных зарядов в исходном состоянии МДП-структуры, тем выше чувствительность прибора, т. е. тем меньше может быть зарядовый пакет.

С течением времени в обедненной МДП-структуре за счет генерации происходит образование электронно-дырочных пар и возможно создание паразитного для ПЗС инверсионного слоя. Время, необходимое МДП-структуре для перехода из режима обеднения в режим инверсии, называется временем релаксации  $t_s$ ; его значение определяется из условия компенсации объемного заряда обедненного слоя ионов примеси подвижными носителями, созданными тепловой генерацией. Например, для ПЗС с каналом  $n$ -типа имеем

$$gt_s = qN_A, \quad (4.81)$$

где  $g$  — скорость тепловой генерации носителей зарядов — электронов;  $N_A$  — концентрация ионов акцепторной примеси.

Современная технология изготовления ПЗС позволяет получить времена релаксации, измеряемые минутами. Тем не менее в принципе ПЗС — прибор динамического типа, и долговременное хранение информации в нем невозможно.

Рассмотрим принцип передачи информации в ПЗС, т. е. передачу зарядового пакета от затвора к затвору.

Пусть полупроводник структуры  $n$ -типа и на все затворы подано одинаковое отрицательное напряжение  $U_1$ , тогда под всеми затворами образуется ОПЗ шириной  $L_0$  (рис.

4.40,  $a$ ), этот заряд составляют положительные ионы донорной примеси (см. § 4.2.1).

Если отрицательное напряжение на затворе  $Z_2$  по абсолютному значению больше, чем на соседних затворах  $Z_1$  и  $Z_3$  ( $|U_2| > |U_1|$ ), то под затвором  $Z_2$  глубина обедненной области получается больше, чем под затворами  $Z_1$  и  $Z_3$  (рис. 4.40,  $b$ ). Введем под затвор  $Z_2$  информационный зарядовый пакет дырок: при заданном соотношении напряжений на затворах дырки не могут преодолеть действующего на границах области под затвором  $Z_2$  тормозящего электрического поля.

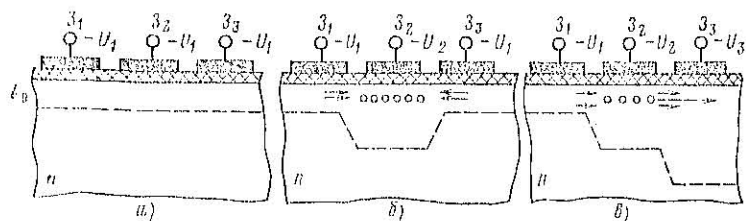


Рис. 4.40. Режимы эксплуатации прибора с зарядовой связью:  
а — режим покоя; б — режим хранения информации; в — режим считывания информации

поля. В этом случае зарядовый пакет под затвором  $Z_2$  может храниться относительно долго (конечно, много меньше времени релаксации) и говорят при этом, что затвор  $Z_2$  работает в режиме хранения информации. Напряжение  $U_2$  называют напряжением хранения.

Пусть на затвор  $Z_3$  подано отрицательное напряжение  $U_3$ , а на затворе  $Z_2$  осталось напряжение  $U_2$ , причем ( $|U_3| > |U_2|$ ) (рис. 4.40,  $c$ ), тогда на границе затворов  $Z_2$  и  $Z_3$  образуется ускоряющее для дырок электрическое поле и зарядовый пакет переходит от  $Z_2$  к  $Z_3$ . Затвор  $Z_3$  работает при этом в режиме считывания информации, а напряжение  $U_3$  называют напряжением считывания.

Суммарный положительный заряд под затвором определяется напряжением на затворе и емкостью МДП-структур. Поэтому появление зарядового пакета дырок сопровождается уменьшением положительного заряда ионов донорной примеси. При равенстве пространственного заряда доноров заряду пакета дырок электрические поля на границах между затворами исчезают и зарядовый пакет расширяется.

деляется вдоль всей поверхности структуры, т. е. не может быть носителем информации. Следовательно, максимальное допустимое значение количества заряда в пакете равно:

$$Q_{\max} = (U_2 - U_1)CS,$$

где  $C$  — удельная емкость диэлектрика;  $S$  — площадь затвора.

Таким образом, значение заряда в пакете ограничено снизу  $Q_{\min}$  и сверху  $Q_{\max}$ .

В процессе переноса зарядового пакета имеют место потери заряда. Эти потери связаны, во-первых, с тем, что скопости носителей заряда в пакете различны и требуется определенное время для переноса всего заряда, во-вторых, с тем, что часть зарядов оказывается захваченной приповерхностными ловушками. Следовательно, для переноса зарядового пакета без потерь необходимо какое-то минимальное время. Это время тем меньше, чем меньше расстояние между затворами, чем выше подвижность носителей и напряжение считываения.

#### 4.7.3. ВЫВОД ИНФОРМАЦИИ ИЗ ПЗС

Рассмотрим принцип вывода информации из ПЗС на примере структуры, показанной на рис. 4.41. Пусть записанная в ПЗС информация в виде зарядовых пакетов дырок находится под затворами с четными номерами (на рис. 4.41, а зачеркнуты). Если на «нечетные» затворы подать напряжение  $U_1 < 0$ , а на затворы с четными номерами — отрицательное напряжение  $U_2 (|U_2| > |U_1|)$ , то между каждой парой затворов ( $t_1-2, 3-4, 5-6$  и т. д.) возникнет электрическое поле. Вектор напряженности этого поля направлен от затворов с четными номерами к затворам с нечетными номерами, и четные затворы работают в режиме хранения информации.

Пусть напряжение на затворах  $U_1$  и  $U_2$  изменяется во времени, как показано на рис. 4.41, б, и обеспечено однонаправленное перемещение дырок справа налево, тогда в момент времени  $t_1$  зарядовые пакеты перейдут от затворов с четными номерами (рис. 4.41, в) к затворам с нечетными номерами (рис. 4.41, г) и там хранятся до момента  $t_2$ . В момент  $t_2$  происходит новый сдвиг зарядовых пакетов справа налево к затворам с четными номерами. Меняя в каждом последующем такте напряжения  $U_1$  и  $U_2$  на затворах, можно постепенно вывести все зарядовые па-

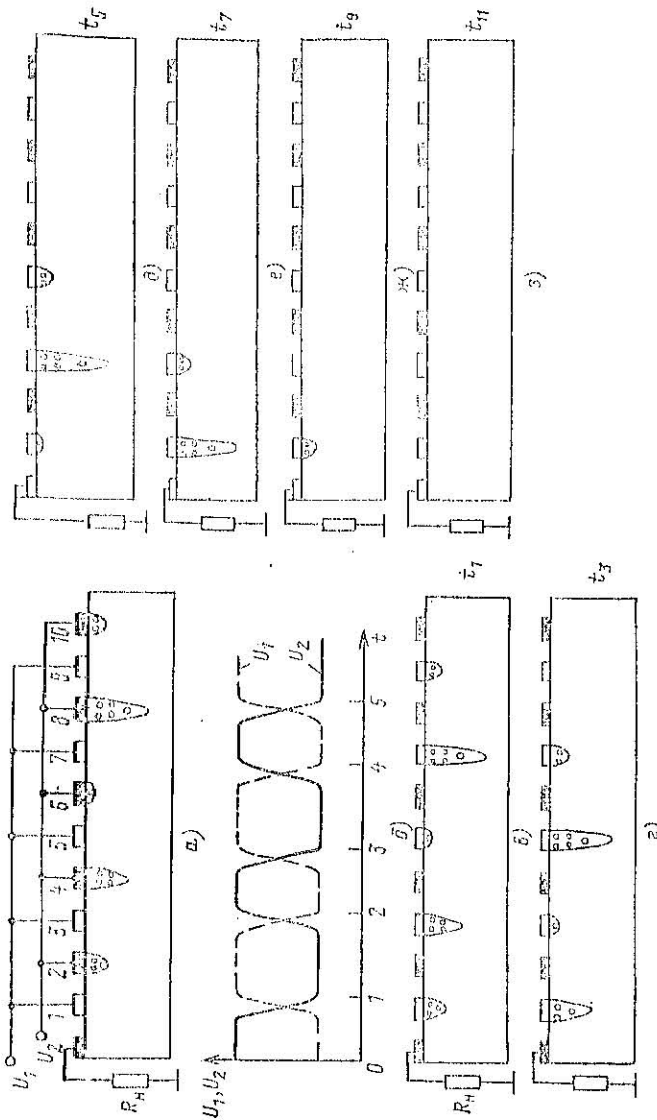


Рис. 4.41. Выход информации из ПЗС:  
а — записанная информация; б — система управления пакетами; в—г — переход зарядовых пакетов;

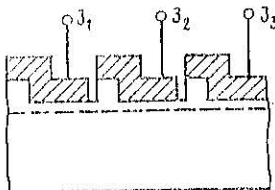


Рис. 4.42. Асимметрическая структура ПЗС для однополаризованной передачи зарядовых пакетов

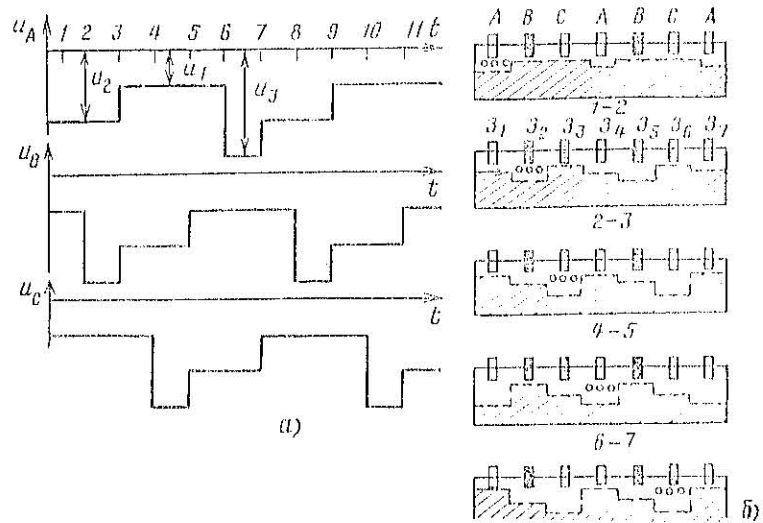


Рис. 4.43. Однополаризованная передача зарядовых пакетов при трехфазном управлении:

*a* — диаграмма управляющих напряжений; *б* — передача зарядовых пакетов во времени

кеты во внешнюю цепь  $R_{\text{в}}$  (рис. 4.41, з), после чего в ПЗС вводится новая информация. Однодиапазонное движение зарядовых пакетов можно обеспечить с помощью особой геометрии структуры, как, например, на рис. 4.42.

Чтобы не усложнять геометрию структуры ПЗС и одновременно иметь однодиапазонное движение зарядовых пакетов, вводят третью группу затворов и трехтактную систему питания.

ПЗС с трехтактным питанием изображен на рис. 4.43, *а*:

питающие напряжения подаются на шины  $A$ ,  $B$ ,  $C$  и сдвигнуты относительно друг друга на  $1/3$  периода (рис. 4.43, *б*). Пусть в момент времени  $t_1$  через входной  $p-n$  переход инжектируется зарядовый пакет дырок. Тогда на интервале  $t_1-t_2$  затвор  $Z_1$  работает в режиме хранения, так как  $|U_2| > |U_1|$  и заряд не может уйти из области под затвором  $Z_1$ .

В момент  $t_2$  на шину  $B$  подается напряжение считывания  $U_3$  и дырки переходят от затвора  $Z_1$  к затвору  $Z_2$ . В момент  $t_3$  напряжение питания  $U_b$  уменьшается до значения  $U_2$ , соответствующего режиму хранения. Чтобы исключить возврат дырок под затвор  $Z_1$ , одновременно (в момент  $t_3$ ) напряжение  $U_A$  уменьшается до значения  $U_1$ . В момент  $t_4$  подается напряжение считывания  $U_3$  на шину  $C$  и повторяются процессы, справедливые для момента времени  $t_2$ , но уже для затворов  $Z_2$  и  $Z_3$ : зарядовый пакет переходит под затвор  $Z_3$  и т. д.

Период повторения  $T$  каждого из питирующих напряжений  $U_A$ ,  $U_B$ ,  $U_C$  складывается из трех интервалов хранения  $t_{\text{хр}}$  и трех интервалов считывания  $t_{\text{сч}}$ :

$$T = 3(t_{\text{хр}} + t_{\text{сч}}).$$

Тогда время задержки  $t_3$  выходного сигнала по отношению к входному при  $N$  затворов в ПЗС можно представить в виде

$$t_3 = \frac{1}{3} T(N-1) = (t_{\text{хр}} + t_{\text{сч}})(N-1).$$

Минимальное и максимальное значения периода повторения  $T_{\min}$  определяются динамическими свойствами ПЗС. Минимальный период  $T_{\min}$  и соответственно минимальная задержка  $t_3 \min$  при заданном  $N$  определяются потерями при передаче зарядового пакета: для современных ПЗС значение  $T_{\min}=20\div50$  нс и предельная рабочая частота 5—20 МГц. Практически значение  $T_{\min}$  определяет точность задержки сигнала с помощью ПЗС.

Максимальный период и максимальная задержка определяются временем хранения: оно должно быть настолько малым, чтобы за время передачи зарядового пакета от входа до выхода паразитное (генерированное) значение не превысило долей заряда в пакете. При  $N=100$  максимальный период типичных ПЗС менее 10—100 мс, что позволяет на одном ПЗС иметь задержки до 10 с и более.

## Контрольные вопросы

1. Оцените емкость МДП-структурь в режиме обеднения при подаче на затвор импульса напряжения амплитудой 20 В при концентрации донорной примеси  $10^{16}$  см<sup>-3</sup> и толщине диэлектрика 0,5 мкм.

2. Запишите уравнение, описывающее выходную ВАХ МДП-транзистора в активной области работы (на пологом участке ВАХ), с учетом влияния модуляции длины канала и напряжения по плоскости.

3. Перечислите основные параметры МДП-транзистора для усиительного и ключевого режимов эксплуатации, приведите ориентировочные значения параметров для интегральных и монолитных МДП-транзисторов.

4. Изобразите диаграммы изменения тока стока и напряжения стока МДП-транзистора в ключевом режиме эксплуатации для двух значений емкости затвора; то же для двух значений сопротивления нагрузочного резистора.

5. Определите особенности работы в ключевом режиме коммутационной пары МДП-транзисторов во сравнении с одиночным МДП-транзистором.

6. Оцените значение остаточного напряжения и длительности положительного и отрицательного фронтов МДП-транзистора в ключевом режиме при амплитуде напряжения затвора 5 В,  $E_c=30$  В,  $R_{load}=30$  Ом,  $C_{Si}=2000$  пФ,  $V=1$  А/В,  $U_{th}=1$  В; то же с учетом эффекта Мангера.

7. Определите основные особенности структур и построения пин-диодов монолитных МДП-транзисторов.

8. Сравните основные параметры и характеристики СИТ с МДП-транзисторами с точки зрения эксплуатации этих приборов в усиительном и ключевом режимах.

9. Оцените время вывода информации из ПЗС в периодах тактовой частоты, если информационный зарядовый пакет находится под n-м затвором.

с длиной волны  $\lambda$  от 10 нм до 1 мм<sup>1</sup>. По физическим свойствам оптический диапазон волны неоднороден. Поэтому принято оптический диапазон делить на поддиапазоны, в которых физические свойства в определенной степени одинаковы: ультрафиолетовое излучение ( $\lambda=0,01\div0,4$  мкм) видимое излучение ( $\lambda=0,38\div0,78$  мкм), инфракрасное излучение ( $\lambda=0,78\div1$  мм) (рис. 5.1).

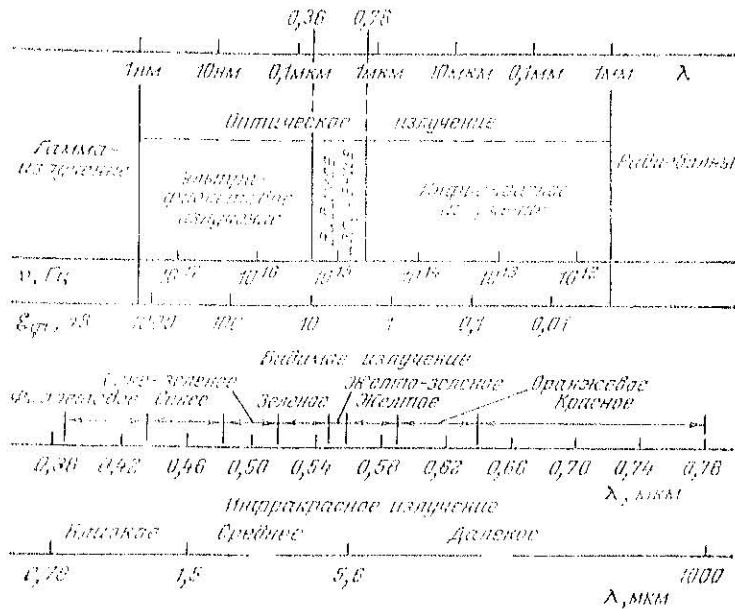


Рис. 5.1. Шкала электромагнитных волн:  
1 — спектр излучения;  $\Phi_{\text{ф}}$  — энергия излучения

Оптическое излучение характеризуют фотометрическими параметрами. Различают фотометрические параметры энергетические и световые.

Энергетические параметры характеризуют излучение балансом относительно к его действию на какой-либо приемник излучения и связью с переносимой излучением энергией.

С помощью световых параметров оценивают излучение

<sup>1</sup> 1 мкм =  $10^6$  нм.

## Глава пятая

### ОПТОЭЛЕКТРОННЫЕ ПОЛУПРОВОДНИКОВЫЕ ПРИБОРЫ

#### 5.1. ОПТИЧЕСКОЕ ИЗЛУЧЕНИЕ

##### 5.1.1. ЭНЕРГЕТИЧЕСКИЕ И СВЕТОВЫЕ ПАРАМЕТРЫ

Принципиальная особенность оптоэлектронных приборов состоит в использовании оптического излучения.

Оптическое излучение — это электромагнитные волны